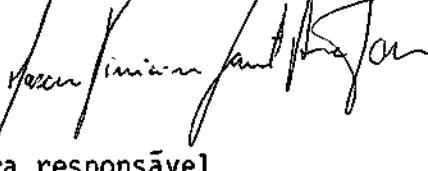
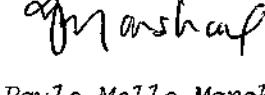
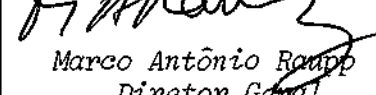


[Imprimir](#)[Fechar](#)*Referência Completa***Tipo da Referência** Conference Proceedings**Repositório** sid.inpe.br/iris@1905/2005/07.27.01.01.27**Metadados** sid.inpe.br/iris@1905/2005/07.27.01.01.37**Site** mtc-m05.sid.inpe.br**Rótulo** 5208**Chave Secundária** INPE-3597**Chave de Citação** TorresTude:1985:PaAcLi**Autor** 1 Torres, M. V.
2 Tude, Eduardo Antonio Parada**Grupo** 1 DEA-INPE-BR**Título** Pac de acopladores em linhas de fita **Nome do Evento** Reunião Anual da Sociedade Brasileira para o Progresso da Ciéncia (SBPC), 37**Ano** 1985**Data** 10-17 JUL. 1985**Localização do Evento** Belo Horizonte**Palavras-Chave** ENGENHARIA E TECNOLOGIA ESPACIAL.**Tipo Secundário** PRE CN**Area** ETES**Projeto** 340006**Última Atualização dos Metadados** 2014:09.29.15.19.33 sid.inpe.br/banon/2001/04.03.15.36 administrator (D
1985)**Estágio do Documento** concluído**e-Mail (login)** marciana**Grupo de Usuários** administrator**Visibilidade** shown**Transferível** 1**Tipo do Conteúdo** External Contribution**Unidade Imediatamente Superior** 8JMKD3MGPcw/3F6GF6B**Conteúdo da Pasta source** não têm arquivos**Conteúdo da Pasta agreement** não têm arquivos**Histórico** 2014-09-29 15:19:33 :: administrator -> marciana :: 1985**Campos Vazios** abstract accessionnumber affiliation archivingpolicy archivist booktitle callnumber copyholder copyright creatorhistory descriptionlevel dissemination documentstage doi e-mailaddress edition editor electronicmailaddress format isbn issn language lineage mark mirrorrepository nextedition notes numberoffiles numberofvolumes organization pages parameterlist parentrepositories previousedition progress publisher publisheraddress readergroup readergroup readpermission resumeid rightsholder secondarydate secondarymark serieseditor session shorttitle size sponsor subject targetfile tertiarymark tertiarytype type url versiontype volume**Data de Acesso** 24 jul. 2015[atualizar](#)[Fechar](#)

1. Publicação nº INPE-3597-PRE/790	2. Versão	3. Data Julho, 1985	5. Distribuição
4. Origem DTL/DAF	Programa ESPAC/TRANSP		<input type="checkbox"/> Interna <input checked="" type="checkbox"/> Externa <input type="checkbox"/> Restrita
6. Palavras chaves - selecionadas pelo(s) autor(es) ACOPLADORES PAC LINHAS DE FITA			
7. C.D.U.: 621.3.029.6			
8. Título	INPE-3597-PRE/790		
PAC DE ACOPLADORES EM LINHA DE FITA			10. Páginas: 74
9. Autoria	Marcus Vinícius Santana Torres Eduardo Antônio Parada Tude		
 Assinatura responsável			
11. Última página: C.13			
12. Revisada por			
 Paulo Mello Marshall			
13. Autorizada por			
 Marco Antônio Raupp Diretor Geral			
14. Resumo/Notas			
<p>Apresentam-se três programas de computador, desenvolvidos para o projeto de acopladores em "stripline", "microstrip" e "broadside coupled". Os programas utilizam expressões fechadas para cálculos de linhas acopladas, o que permite diminuir os tempos de computação sem perda significativa da precisão dos resultados. São apresentados exemplos de projeto e aplicações dos três tipos de acopladores.</p>			
15. Observações Submetido para apresentação na 37ª reunião anual da Sociedade Brasileira para o Progresso da Ciência, a ser realizado de 10 a 17 de julho de 1985, em Belo Horizonte, MG.			

ABSTRACT

Three computer programs, developed to design stripline, microstrip and broadside couplers, are presented. These programs use closed expressions to calculate coupled lines, with reduced computation time without precision loss. Design and applications examples are presented.

SUMÁRIO

	<u>Pág.</u>
LISTA DE FIGURAS	v
1. <u>INTRODUÇÃO</u>	1
2. <u>LINHAS "MICROSTRIP" ACOPLADAS</u>	3
2.1 - Introdução	3
2.2 - Impedâncias características e constantes dielétricas efetivas	4
2.3 - Efeito da espessura finita T da fita condutora	8
2.4 - Efeito da dispersão	9
2.5 - Cálculo de acopladores	11
3. <u>LINHAS "STRIPLINE" ACOPLADAS</u>	13
3.1 - Impedâncias características	13
3.2 - Cálculo de acopladores	16
4. <u>LINHAS "BROADSIDE" ACOPLADAS</u>	18
4.1 - Introdução	18
4.2 - Cálculo de acopladores	22
5. <u>CONCLUSÕES</u>	23
REFERÊNCIAS BIBLIOGRÁFICAS	25
APÊNDICE A - LINHAS "MICROSTRIP" ACOPLADAS	
APÊNDICE B - LINHAS "STRIPLINE" ACOPLADAS	
APÊNDICE C - LINHAS "BROADSIDE" ACOPLADAS	

LISTA DE FIGURAS

Pág.

1 - Linhas acopladas - geometria	1
2 - Decomposição da capacidade total de uma linha "microstrip" acoplada em termos de várias capacidades: (a) capacidades do modo par; (b) capacidades do modo ímpar	3
3 - Linha de transmissão em "stripline" acoplada	14
4 - Impedâncias características Z_{oe} e Z_{oo} de uma linha de transmissão em "stripline" acoplada	16
5 - Linha "broadside" acoplada - geometria	18
6 - Variações de S/b e W/b com o coeficiente de acoplamento: (a) $\epsilon_r = 2,32$; (b) $\epsilon_r = 10,0$	22

1. INTRODUÇÃO

Linhas acopladas são amplamente utilizadas em circuitos de microondas tais como filtros e acopladores.

O acoplamento de potência entre as linhas é definido por um coeficiente C, relacionado com as impedâncias dos modos par (Z_{oe}) e ímpar (Z_{oo}) que se propagam nas linhas:

$$C = \frac{Z_{oe} - Z_{oo}}{Z_{oe} + Z_{oo}} . \quad (1)$$

Este trabalho apresenta programas de computador para o cálculo de linhas acopladas em "microstrip", "stripline" e "broadside" (Figura 1) e sua utilização no projeto de acopladores direcionais.

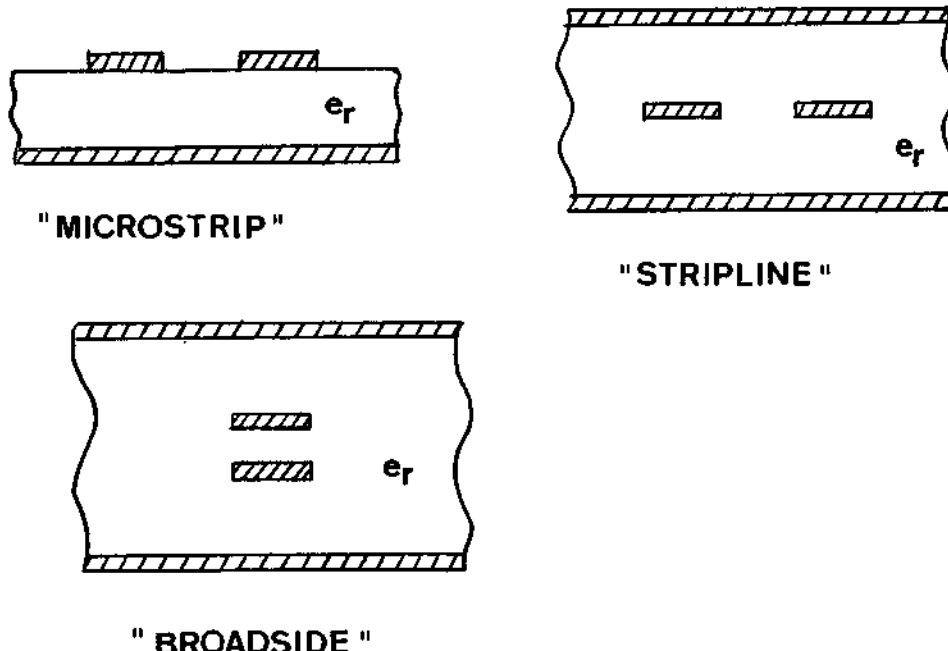


Fig. 1 - Linhas acopladas - geometria.

No dimensionamento de um acoplador direcional com entrada e saída casadas a uma linha de impedância característica Z_0 , deve-se ter:

$$Z_0 = \sqrt{Z_{oe} Z_{oo}} \quad (2)$$

e o comprimento das linhas acopladas (L) igual a:

$$L = \frac{\lambda g}{4}, \quad (3)$$

onde:

λg é o comprimento de onda guiado na estrutura do acoplador.

A partir das Expressões 1 e 2, podem-se escrever Z_{oe} e Z_{oo} em função de Z_0 e $C' = -20 \log C$:

$$Z_{oe} = Z_0 \sqrt{\frac{1 + 10^{-C'/20}}{1 - 10^{-C'/20}}}, \quad (4)$$

$$Z_{oo} = Z_0 \sqrt{\frac{1 - 10^{-C'/20}}{1 + 10^{-C'/20}}}. \quad (5)$$

Pode-se, desta forma, determinar qual o par de impedâncias Z_{oe} e Z_{oo} que corresponde ao acoplamento desejado e utilizar estes valores no dimensionamento das linhas acopladas.

Nas Seções 2, 3 e 4 apresentam-se o cálculo das impedâncias características e o dimensionamento de acopladores para as linhas acopladas em "microstrip", "stripline" e "broadside", respectivamente.

Estes cálculos são realizados através de programas de computador apresentados nos Apêndices A, B e C.

Finalmente, na Seção 5 discutem-se os resultados e apresentam-se as conclusões.

2. LINHAS "MICROSTRIP" ACOPLADAS

2.1 - INTRODUÇÃO

A geometria de uma linha "microstrip" acoplada e sua caracterização em termos de capacitâncias entre placas paralelas e capacitações de franja são mostradas na Figura 2.

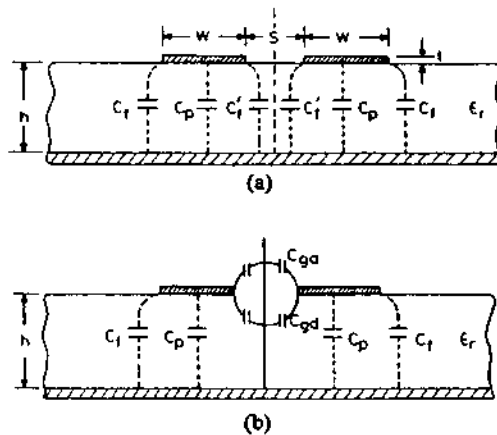


Fig. 2 - Decomposição da capacitância total de uma linha "microstrip" acoplada em termos de várias capacitâncias: (a) capacitâncias do modo par; (b) capacitâncias do modo ímpar.

A capacidade total entre uma linha e o plano de terra pode ser representada em termos de uma capacidade devida a duas placas condutoras paralelas e duas capacidades de franja, uma para cada lado da linha. Esta técnica tem sido usada satisfatoriamente para representação de linhas "stripline" acopladas (Howe, 1974), onde a configuração dielétrica é homogênea.

Expressões aproximadas que permitem a utilização desta técnica para linhas "microstrip" acopladas foram obtidas inicialmente por Schwarzmann (1967). Mais recentemente, diversos métodos numéricos têm sido utilizados na avaliação dos parâmetros de linhas "microstrip" acopladas, tais como o Método da Função de Green (Weiss, 1974), o Método Variacional (Haddad and Krage, 1970), (Pregla and Kowalski, 1973), e o Método da Expansão em Séries de Fourier (Pregla and Bergandt, 1972).

Este trabalho utiliza um método proposto por Bahl e Garg (1979), no qual expressões para capacidades de linhas "microstrip" isoladas são utilizadas na determinação das capacidades de franja do modo par, enquanto as capacidades de franja do modo ímpar são determinadas com o auxílio de uma geometria equivalente entre linhas "stripline" acopladas e linhas coplanares.

As expressões das capacidades são então utilizadas na determinação das impedâncias características e das constantes dielétricas efetivas.

2.2 - IMPEDÂNCIAS CARACTERÍSTICAS E CONSTANTES DIELÉTRICAS EFETIVAS

As capacidades totais dos modos par e ímpar podem ser expressas em termos das capacidades mostradas na Figura 2 (Bahl, 1981):

$$C_e = C_p + C_f + C'_f , \quad (6)$$

$$C_o = C_p + C_f + C_{ga} + C_{gd} , \quad (7)$$

onde:

$$C_p = \epsilon_0 \epsilon_r W/h . \quad (8)$$

Os termos C_f , C'_f , C_{ga} e C_{gd} representam várias capacitâncias de franja. C_f é a capacitância de franja de uma linha "micro strip" de largura W/h , impedância Z_0 e constante dielétrica efetiva ϵ_{re} , e é dada por:

$$2C_f = \sqrt{\epsilon_{re}} / cZ_0 - C_p , \quad (9)$$

$$c = 3 \times 10^8 \text{ m/s} .$$

A expressão para a capacitância C'_f é obtida empiricamente por:

$$C'_f = \frac{C_f}{1 + A(h/S) \tanh(8 S/h)} , \quad (10)$$

onde:

$$A = \exp(-0,1 \exp(2,33 - 2,53 W/h)) . \quad (11)$$

C_{ga} é o termo da capacitância do modo ímpar para o campo de franja através do "gap" na região de ar e é obtido da geometria equivalente de linhas coplanares, sendo dado por:

$$C_{ga} = \epsilon_0 \frac{K(k')}{K(k)} , \quad (12a)$$

com:

$$k = \frac{S/h}{S/h + 2 W/h} , \quad (12b)$$

$$k' = \sqrt{1 - k^2} , \quad (12c)$$

onde a razão entre a função elíptica completa $K(k)$ e seu complemento $K(k')$ é dada por:

$$\frac{K(k')}{K(k)} = \frac{1}{\pi} \ln \left[2 \frac{1 - \sqrt{k'}}{1 + \sqrt{k'}} \right] \quad 0 \leq k^2 \leq 0,5 , \quad (12d)$$

ou

$$\frac{K(k')}{K(k)} = \frac{\pi}{\ln \left[2 \frac{1 + \sqrt{k'}}{1 - \sqrt{k'}} \right]} \quad 0,5 \leq k^2 \leq 1 .$$

O termo C_{gd} representa a capacidade do modo ímpar para o campo de franja através do "gap" na região do dielétrico, a qual é avaliada modificando a capacidade correspondente de linhas "stripline" acopladas, sendo dado por:

$$C_{gd} = \frac{\epsilon_0 \epsilon_r}{\pi} \ln \left\{ \coth \left(\frac{\pi}{4} \frac{S}{h} \right) + 0,65 C_f \left[\frac{0,02}{S/h} \sqrt{\epsilon_r} + 1 - \epsilon_r^{-2} \right] \right\} . \quad (13)$$

As impedâncias características e as constantes dielétricas efetivas podem ser obtidas dos valores das capacidades, usando as seguintes relações:

$$Z_{oe} = 1/c \sqrt{C_e C_{ea}} , \quad (14a)$$

$$\epsilon_{ree} = C_e / C_{ea} , \quad (14b)$$

para o modo par e

$$Z_{oo} = 1/c \sqrt{C_o C_{oa}} , \quad (14c)$$

$$\epsilon_{reo} = C_o / C_{oa} , \quad (14d)$$

para o modo ímpar.

C_{ea} e C_{oa} são as capacitâncias dos modos par e ímpar respectivamente, tendo o ar como dielétrico ($\epsilon_r = 1$), e c é a velocidade da luz no espaço livre.

A comparação entre os valores de impedância calculados e os resultados obtidos por Bryant e Weiss (1971) mostra uma precisão melhor do que 3% para $0,2 \leq W/h \leq 2$, $0,05 \leq S/h \leq 2$ e $\epsilon_r \geq 1$. Mostra-se ainda que as variações destes parâmetros representam valores para o coeficiente de acoplamento inferiores a 0,6 (Bahl and Garg, 1979).

As expressões das capacitâncias são válidas considerando nula a espessura T da fita condutora. Na prática, porém, a fita condutora possui espessura finita e uma correção se faz necessária. O efeito da dispersão com a frequência acarreta variações na impedância característica e na constante dielétrica efetiva de linhas "microstrip" acopladas, devendo também ser considerado (Bahl and Garg, 1979).

2.3 - EFEITO DA ESPESSURA FINITA T DA FITA CONDUTORA

Quando a fita condutora tem espessura finita ($T > 0$), suas capacidades podem ser avaliadas usando o conceito de largura efetiva (Bahl and Garg, 1979).

Expressões para a largura efetiva W_t^e foram obtidas por Jansen (1978), modificando as expressões correspondentes das linhas "microstrip" isoladas. Estas expressões são:

$$\frac{W_t^e}{h} = \frac{W}{h} + \frac{\Delta W}{h} [1 - 0,5 \exp(-0,69 \Delta W/\Delta T)], \quad (15)$$

$$\frac{W_t^o}{h} = \frac{W_t^e}{h} + \frac{\Delta T}{h}, \quad (16)$$

onde:

$$\frac{\Delta T}{h} = \frac{1}{\epsilon_r} \frac{T/h}{S/h} \quad e \quad (17)$$

ΔW é o incremento na largura da fita, devido à espessura T , que pode ser escrito como (Chiarello, 1983):

$$\Delta W = \left(\frac{T}{\pi} \right) \left[1 + \ln 4 - 0,5 \ln \left[\left(\frac{T}{h} \right)^2 + \left(\frac{T}{\pi W} \right)^2 \right] \right]. \quad (18)$$

As Expressões 15 e 16 são válidas apenas para $S \geq 2T$.

Verifica-se que o aumento da espessura T da fita acarreta um aumento nas capacitâncias dos modos par e ímpar e um consequente decréscimo nas impedâncias respectivas.

2.4 - EFEITO DA DISPERSÃO

As expressões para a impedância Z_0 e a constante dielétrica efetiva ϵ_{re} , derivadas com a consideração TEM, são válidas apenas em baixas freqüências. Em altas freqüências, devido à propagação de modos híbridos, Z_0 e ϵ_{re} da linha "microstrip" mudam com o aumento da freqüência, fazendo a linha de transmissão dispersiva, ou seja, as linhas de campo elétrico são mais e mais forçadas para o interior do substrato (Chiarello, 1983).

O comportamento dispersivo de linhas "microstrip" acopladas foi bem descrito usando métodos numéricos. Expressões semi-empíricas propostas por Getsinger (1983) descrevem o efeito da dispersão na constante dielétrica efetiva e fornecem valores bem próximos aos valores experimentais, fato que as torna largamente utilizadas. Estas expressões são:

a) para o modo par:

$$\epsilon_{reef} = \epsilon_r - \left\{ \frac{\epsilon_r - \epsilon_{ree}}{1 + G_e(F/F_{pe})^2} \right\}, \quad (19a)$$

com:

$$G = 0,6 + 0,0047 Z_{oe}, \quad (19b)$$

$$F_{pe} = 7,83 Z_{oe} / h;$$

b) para o modo ímpar:

$$\epsilon_{reof} = \epsilon_r - \left\{ \frac{\epsilon_r - \epsilon_{reo}}{1 + G_o(F/F_{po})^2} \right\} , \quad (19c)$$

com:

$$G_o = 0,6 + 0,018 Z_{oo} , \quad (19d)$$

$$F_{po} = 31,32 Z_{oo} / h ,$$

onde:

F é a freqüência de operação em GHz.

Para as impedâncias, chegou-se a uma formulação similar às Equações 18, dada por:

a) para o modo par:

$$Z_{oef} = Z_{te} - \left\{ \frac{Z_{te} - Z_{oe}}{1 + G_e(F/F_{pe})^{1,6}} \right\} , \quad (20a)$$

b) para o modo ímpar:

$$Z_{oof} = Z_{to} - \left\{ \frac{Z_{to} - Z_{oo}}{1 + G_o(F/F_{po})^{1,6}} \right\} , \quad (20b)$$

onde:

G_e , F_{pe} , G_o , F_{po} são dados pelas Equações 19b e 19d, respectivamente.

Os termos Z_{te} e Z_{to} são as correspondentes impedâncias para as linhas "stripline" acopladas com os mesmos valores de S e W das linhas "microstrip" acopladas. Valores para Z_{te} e Z_{to} são obtidos das seguintes relações:

a) para o modo par:

$$Z_{te} = \frac{60 \pi}{\sqrt{\epsilon_r}} \frac{K(k_e)}{K(k'_e)}, \quad (21)$$

$$k_e = \tanh \left(\frac{\pi}{4} \left(\frac{W}{h} \right) \right) \tanh \left(\frac{\pi}{4} \left(\frac{W+S}{h} \right) \right),$$

b) para o modo ímpar:

$$Z_{to} = \frac{60 \pi}{\sqrt{\epsilon_r}} \frac{K(k_o)}{K(k'_o)}, \quad (22)$$

$$k_o = \tanh \left(\frac{\pi}{4} \left(\frac{W}{h} \right) \right) / \tanh \left(\frac{\pi}{4} \left(\frac{W+S}{h} \right) \right).$$

As variações de $\frac{K(k_i)}{K(k'_i)}$ são definidas na Expressão 12d.

2.5 - CÁLCULO DE ACOPLADORES

As expressões propostas por Bahl e Garg (1979) permitem que sejam calculadas as características de linhas "microstrip" acopladas, desde que se conheçam os parâmetros desta linha, com uma precisão aceitável, e que:

$$0,2h \leq W \leq 2h,$$

$$0,05h \leq S \leq 2h,$$

$$\epsilon_r \geq 1.$$

Ainda, as Equações 1 e 5 permitem o cálculo das impedâncias características dos modos par e ímpar somente em função do acoplamento desejado e da impedância característica desejada para a linha.

Então, o cálculo de acopladores direcionais em linhas "microstrip" acopladas consiste em determinar os valores da largura W das linhas de fita e o espaçamento S entre estas linhas, de maneira que as impedâncias características dos modos par e ímpar, calculadas com o auxílio da formulação apresentada e levando em conta todas as correções, sejam o mais próximas possível daquelas já determinadas pelo acoplamento e pela impedância característica desejada.

Fazendo uma iteração nos intervalos de variação de W e S atingem-se os valores desejados.

Alcançadas as precisões prefixadas na rotina iterativa, os valores das constantes dielétricas efetivas dos modos par e ímpar ϵ_{reef} e ϵ_{reof} são calculados pelas Equações 18.

O comprimento L do acoplador deve ser igual a um quarto do comprimento da onda guiada, isto é:

$$L = \frac{\lambda g}{4} . \quad (23)$$

Uma vez que $\lambda g = \lambda_0 / \sqrt{\epsilon_{ff}}$ e os valores das constantes dielétricas efetivas são diferentes, faz-se:

$$\frac{1}{\sqrt{\epsilon_{ff}}} = \frac{1}{2} \left[\frac{1}{\sqrt{\epsilon_{reef}}} + \frac{1}{\sqrt{\epsilon_{reof}}} \right] , \quad (24)$$

o que dā:

$$L = \frac{37,5}{F} \left[\frac{1}{\sqrt{\epsilon_{reef}}} + \frac{1}{\sqrt{\epsilon_{reof}}} \right] , \quad (25)$$

com F dado em GHz e L em mm.

Ficam assim determinadas todas as dimensões do acoplador desejado.

Projetou-se e construiu-se um acoplador de 20 dB na frequência de 2,275 GHz para utilização no Transponder PCD do primeiro Satélite da Missão Espacial Completa Brasileira (MECB).

Os resultados obtidos, a máscara para confecção do circuito impresso e as características levantadas são apresentados no Apêndice B.

3. LINHAS "STRIPLINE" ACOPLADAS

3.1 - IMPEDÂNCIAS CARACTERÍSTICAS

A Figura 3 apresenta a geometria da linha "stripline" acoplada.

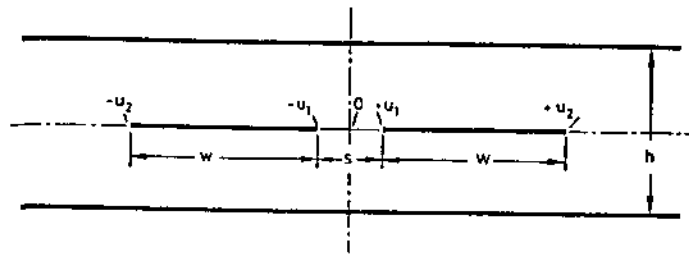


Fig. 3 - Linha de transmissão em "stripline" acoplada.

O cálculo das impedâncias características Z_{oe} e Z_{oo} pode ser feito através do mapeamento no plano complexo conforme Hilberg (1969), que apresenta as seguintes expressões para o modo par:

$$Z_{oe} \approx \frac{\eta}{2\pi} \ln \left[2 \frac{\sqrt{\cosh \frac{\pi U_2}{h} / \cosh \frac{\pi U_1}{h}} + 1}{\sqrt{\cosh \frac{\pi U_2}{h} / \cosh \frac{\pi U_1}{h}} - 1} \right] \quad (26a)$$

$$\text{para } \frac{\eta}{4} \leq Z_{oe} \leq \infty$$

ou:

$$Z_{oe} \approx \eta \frac{\pi}{8} / \ln \left[2 \sqrt{\cosh \frac{\pi U_2}{h} / \cosh \frac{\pi U_1}{h}} \right] \quad (26b)$$

$$\text{para } 0 \leq Z_{oe} \leq \frac{\eta}{4} .$$

Enquanto para o modo ímpar:

$$Z_{00} \approx \frac{n}{2\pi} \ln \left[2 \frac{\sqrt{\frac{\sinh \frac{\pi U_2}{h}}{h}} / \sqrt{\frac{\sinh \frac{\pi U_1}{h}}{h}} + 1}{\sqrt{\frac{\sinh \frac{\pi U_2}{h}}{h}} / \sqrt{\frac{\sinh \frac{\pi U_1}{h}}{h}} - 1} \right] \quad (27a)$$

para $\frac{n}{4} \leq Z_{00} \leq \infty$

ou:

$$Z_{00} \approx n \frac{\pi}{8} / \ln \left[2 \sqrt{\frac{\sinh \frac{\pi U_2}{h}}{h}} / \sqrt{\frac{\sinh \frac{\pi U_1}{h}}{h}} \right] \quad (27b)$$

para $0 \leq Z_{00} \leq \frac{n}{4}$.

Na Figura 4 apresentam-se as curvas calculadas a partir das Equações 26 e 27.

As dimensões U_1 e U_2 estão relacionadas com a largura e o espaçamento entre as linhas, W e S , por:

$$U_2 = W + S/2, \quad (28)$$

$$U_1 = S/2. \quad (29)$$

Segundo Hilberg (1969), os resultados obtidos com as Equações de 26 a 29, plotados na Figura 4, apresentam um erro menor que 10^{-3} quando comparados com os resultados obtidos por Cohn (1955).

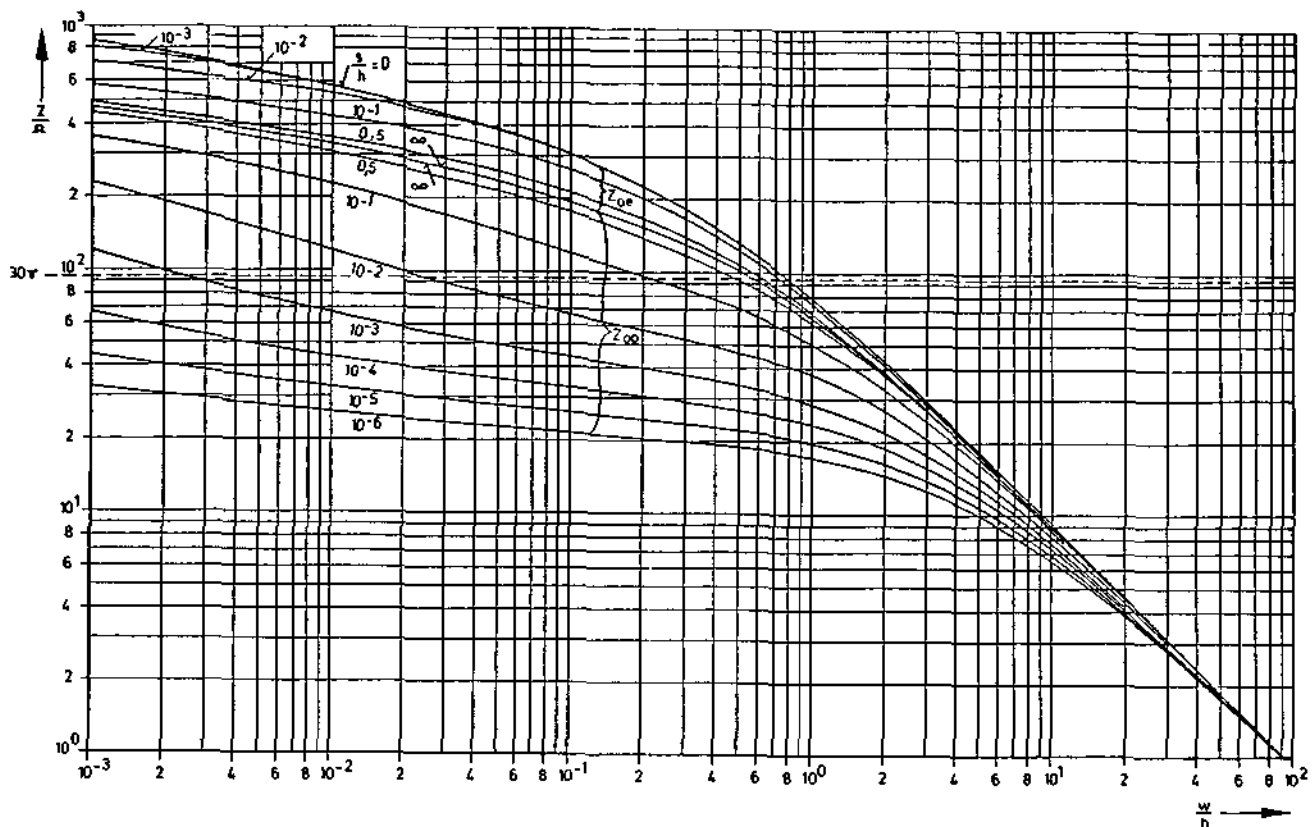


Fig. 4 - Impedâncias características Z_{oe} e Z_{oo} de uma linha de transmissão em "stripline" acoplada.

3.2 - CÁLCULO DE ACOPLADORES

A Figura 4 mostra as variações das impedâncias características do modo par (Z_{oe}) e ímpar (Z_{oo}) em função das relações S/h e W/h . Os resultados mostrados permitem que sejam fixados os seguintes intervalos de variação de W/h e S/h na rotina iterativa de síntese do acoplador (Bahl, 1981):

$$10^{-3} \leq W/h \leq 10^2 ,$$

$$10^{-6} \leq S/h \leq 0,5 .$$

O programa de computador desenvolvido sintetiza as impedâncias dos modos par e ímpar mais próximos daquelas obtidas em função do acoplamento (Equações de 1 a 5).

O valor inicial para o processo de síntese é calculado considerando nula a espessura T da fita condutora ($T = 0$) (Gupta, 1983):

$$\frac{W}{h} = \frac{2}{\pi} \tanh^{-1} \sqrt{k_e k_o}, \quad (30)$$

$$\frac{S}{h} = \frac{2}{\pi} \tanh^{-1} \left[\frac{1 - k_o}{1 - k_e} \sqrt{\frac{k_e}{k_o}} \right], \quad (31)$$

onde:

$$k_{e,0} = \sqrt{1 - \left(\frac{\epsilon^{\pi X} - 2}{\epsilon^{\pi X} + 2} \right)^4} \quad (32a)$$

para $1 \leq X \leq \infty$, ou

$$k_{e,0} = \left(\frac{\epsilon^{\pi X} - 2}{\epsilon^{\pi X} + 2} \right)^2, \quad (32b)$$

para $0 \leq X \leq 1$,

com:

$$X = \frac{Z_{oe} \sqrt{\epsilon_r}}{30 \pi} \quad (33a)$$

ou:

$$x = \frac{Z_{00} \sqrt{\epsilon_r}}{30 \pi} . \quad (33b)$$

As Equações de 26 a 29 são então utilizadas nos cálculos das impedâncias dos modos par e ímpar, da largura W da fita condutora e do espaçamento S entre estas fitas condutoras, necessários à realização do acoplador desejado.

No Apêndice B apresenta-se um exemplo de utilização.

4. LINHAS "BROADSIDE" ACOPLADAS

4.1 - INTRODUÇÃO

A geometria e os parâmetros de linhas "broadside" são mostrados na Figura 5.

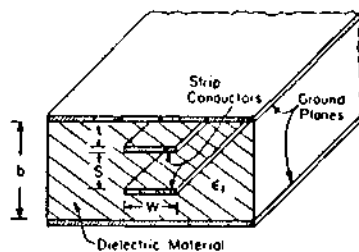


Fig. 5 - Linha "broadside" acoplada - geometria.

FONTE: Bah1 (1981), p. 166.

Expressões para as impedâncias características dos modos de propagação par e ímpar, quando a espessura T da fita condutora não é levada em consideração, foram propostas por Cohn (1960) e são dadas por:

$$Z_{oe} = \frac{60 \pi}{\sqrt{\epsilon_r}} \frac{K'(k)}{K(k)}, \quad (34)$$

$$Z_{oo} = \frac{296,1}{\sqrt{\epsilon_r} \frac{b}{s} \tanh^{-1}(k)}, \quad (35)$$

onde:

K é uma função elíptica de primeira ordem e K' é sua função complementar dada por:

$$K'(k) = K(k') = K \sqrt{1 - k^2}, \quad (36)$$

e k é um parâmetro relacionado com a geometria da estrutura como a seguir:

$$\frac{W}{b} = \frac{1}{\pi} \left[\ln \left(\frac{1+R}{1-R} \right) - \frac{s}{b} \ln \left(\frac{1+R/k}{1-R/k} \right) \right], \quad (37)$$

com:

$$R = \left[\left(k \frac{b}{s} - 1 \right) / \left(\frac{1}{k} \frac{b}{s} - 1 \right) \right]^{1/2}, \quad (38)$$

onde:

b , W e s , definidos na Figura 5, são:

b = espessura total da estrutura,

W = largura da fita condutora,

S = espaçamento entre as fitas condutoras.

Se C é o coeficiente de acoplamento entre as linhas e Z_0 é a impedância de entrada e saída do acoplador, então as impedâncias dos modos par (Z_{oe}) e ímpar (Z_{oo}) podem ser expressas pelas Equações de 1 a 5.

Substituindo essas equações na Equação 34, escreve-se:

$$\frac{K}{K'} = \frac{60 \pi}{Z_0 \sqrt{\epsilon_r}} \left(\frac{1 - C}{1 + C} \right)^{1/2}. \quad (39)$$

Para os cálculos de S/b e W/b e consequentemente de S e W, o valor do parâmetro k é necessário. Expressões para K/K' foram postas por Hilberg (1969) e podem ser usadas na avaliação do parâmetro k para um dado acoplamento e substrato. Estas expressões são:

$$\frac{K}{K'} = \frac{1}{\pi} \ln 2 \left(\frac{1 + \sqrt{k}}{1 - \sqrt{k}} \right), \quad (40a)$$

para $0,707 \leq k \leq 1$,

$$\frac{K}{K'} = \frac{\pi}{\ln 2 \left(\frac{1 + \sqrt{k^n}}{1 - \sqrt{k^n}} \right)}, \quad (40b)$$

para $0,0 \leq k \leq 0,707$.

Sendo $P = (Z_0 / 60\pi)$, verifica-se que:

se

$$\frac{K}{K'} \geq 1 \text{ ou } C \leq (1,0 - Pe_r) / (1,0 + Pe_r) ,$$

tem-se:

$$k = \left[\frac{0,5 \exp(\pi K/K') - 1}{0,5 \exp(\pi K/K') + 1} \right]^2 ; \quad (41a)$$

se

$$\frac{K}{K'} \leq 1 \text{ ou } C \geq (1,0 - Pe_r) / (1,0 + Pe_r) ,$$

tem-se:

$$k = \left[\frac{1 - (0,5 \exp(\pi K'/K) - 1)^4}{0,5 \exp(\pi K'/K) + 1} \right]^{1/2} . \quad (41b)$$

Das expressões de 1 a 5 e 35 chega-se a:

$$\frac{S}{b} = 0,0017 \sqrt{\epsilon_r} \left(\frac{1 - C}{1 + C} \right)^{1/2} \ln \left(\frac{1 + k}{1 - k} \right) . \quad (42)$$

Com isto, dados o coeficiente de acoplamento C, a constante dielétrica ϵ_r do substrato e a impedância de entrada e saída Z_0 de sejada para o acoplador, os parâmetros W/b e S/b são calculados com o auxílio das Equações de 1 a 5 e das Equações de 39 a 42.

As relações W/b e S/b fixam os valores de W e S, desde que se saiba o valor da espessura total b do dispositivo, que pode ser uma combinação de dielétricos de mesma constante dielétrica ϵ_r e espessuras diferentes.

Como as linhas "broadside acopladas" são mais utilizadas na confecção de coeficientes de acoplamento elevados (3 dB por exemplo), procurou-se a combinação de dielétricos que permitisse a construção de um acoplador direcional de 3 dB na frequência de 2,275 GHz.

Foram utilizados os dielétricos RT/DUROID disponíveis no INPE e ainda os dielétricos DI-CLAD da Keene Corporation, sendo que com estes últimos conseguiram-se acoplamentos próximos de 3 dB. Os resultados obtidos estão no Apêndice C.

5. CONCLUSÕES

Foram implementados programas de computador que tornaram rápidos os projetos de acopladores direcionais em linhas "microstrip", "stripline" e "broadside".

As linhas "microstrip" devem ser usadas preferencialmente em acoplamentos mais fracos do que 10 dB, uma vez que com o aumento do acoplamento o espaçamento entre as linhas diminui, alcançando valores de difícil realização com técnicas fotolitográficas manuais e de baixo custo.

Para acoplamentos mais fortes do que 10 dB e mais fracos que 5 dB, podem ser utilizadas linhas "stripline", ficando as linhas "broadside" para a realização de acoplamentos mais fortes do que 5 dB.

•••

- HOWE, Jr, H. *Stripline circuit design.* Burlington, MA, Artech House, 1974.
- JANSEN, R.H. High-speed computation of single and coupled microstrip parameters including dispersion, high order modes, loss and finite thickness. *IEEE Transactions on Microwave Theory and Techniques, MTT-26(2):75-82*, Feb. 1978.
- PREGLA, R.; BERGANDT, H.G. Calculation of even and odd-mode capacitance parameters for coupled microstrips. *Archiv der Elektrischen Übertragung, 26:153-158*, 1972.
- PREGLA, R.; KOWALSKI, G. Calculation of the distributed capacitances of coupled microstrips using a variational integral. *Archiv der Elektrischen Übertragung, 25:51-52*, 1973.
- SCHWARZMANN, A. Microstrip plus equations add up to fast designs. *Electronics, 40(20):109-112*, Oct. 1967.
- WEISS, J.A. Microwave propagation on coupled pairs of microstrip transmission lines IN: *ADVANCES IN MICROWAVE.* New York, Academic, 1974.

APÊNDICE A

LINHAS "MICROSTRIP" ACOPLADAS

A.1 - PROGRAMA FORTRAN PARA CÁLCULO DE ACOPLADORES

```
100      C*****  
101      C+  
102      C+  
103      C+  
104      C+  
105      C+          .PROGRAMA MCFITA3  
106      C+          * CALCULO DE ACOPLADORES DIRECIONAIS *  
107      C+          * EM LINHAS MICROSTRIP ACOPLADAS *  
108      C+          ***  
109      C+          INPE - SAO JOSE DOS CAMPOS - 1985  
110      C+  
111      C*****  
112  
113      FILE  5(KIND=REMOTE,MYUSE=10)  
114      FILE  6(KIND=PPINTER)  
115  
116      C*****  
117      C+  
118      C+          ***  
119      C+          # PROGRAMA PRINCIPAL #  
120      C+          ***  
121  
122      1 WRITE(5,2)  
123      2 FORMAT(1H1,19X,31('*'),//,20X,' LINHAS MICROSTRIP ACOPLADAS *',//,  
124      *20X,31('*'),///)  
125  
126      WRITE(5,3)  
127      3 FORMAT(16X,'NA CONFECCAO DE ACOPLADORES DIRECIONAIS',//,15X,'PODEM  
128      *SER USADOS OS SEGUINTES DIELETRICOS',//,12X,'1) RT/DUROID 5880  
129      *(H=0.031", ER=2.2, T=1.0 0Z),//,12X,'2) RT/DUROID 5880 (H=0.062", E  
130      *R=2.2, T=1.0 0Z),//,12X,'3) RT/DUROID 6-10 (H=0.025", ER=10.5, T=1  
131      *.0 UZ),//,12X,'4) RT/DUROID 6010 (H=0.050", ER=10.5, T=1.0 0Z),//,  
132      *12X,'5) NENHUM DOS ACIMA',//,16X,# ESCOLHA UMA DAS ALTERNATIVAS A  
133      *CIMA #',//,16X,# DIGITANDO O NUMERO CORRESPONDENTE #,///)  
134  
135      READ(5,/)NU  
136  
137      IF(NU<LT.5) GO TO 4  
138  
139      GO TO 5  
140  
141      C*****  
142      4 CALL DADD1(NU,ER,H,T)  
143  
144  
145      C*****  
146  
147      GO TO 13  
148  
149      C*****  
150      C+  
151      C+          => ENTRADA DE DADOS <  
152      C+  
153      5 WRITE(5,6)  
154      6 FORMAT(1H1,12X," ENTRE COM OS PARAMETROS //,19X,  
155      ** CONFORME AS SOLICITACOES A SEGUIR //,10X," ER = CONSTANTE O  
156      *IELETTRICA RELATIVA DO SUBSTRATO",//)
```

```
157      READ(5,/)ER
158
159      WRITE(5,7)
160      7 FORMAT(10X," T = ESPESSURA DA FITA CONDUTORA EM MM",/15X,"PARA QU
161      * E O EFEITO DA ESPESSURA FINITA DA FITA",/15X,"NAO SEJA CONSIDERAD
162      *O > ESTE PARAMETRO DEVE SER NULO",//)
163
164      READ(5,/)T
165
166      WRITE(5,8)
167      8 FORMAT(15X," H = ESPESSURA DO SUBSTRATO EM MM",//)
168
169      READ(5,/)H
170
171      9 WRITE(5,10)
172      10 FORMAT(15X," F = FREQUENCIA DE OPERACAO EM GHZ",//)
173
174      READ(5,/)F
175
176      WRITE(5,11)
177      11 FORMAT(15X," ACP = ACOPLAGEMTO DESEJADO EM DB",//)
178
179      READ(5,/)ACP
180
181      WRITE(5,12)
182      12 FORMAT(13X," ZOC = IMPEDANCIA DE ENTRADA DESEJADA",//)
183
184      READ(5,/)ZOC
185
186
187      GO TO 15
188
189      13 WRITE(5,14)
190      14 FORMAT(1H1,13X,"* ENTRE COM OS SEGUINTEIS PARAMETROS *",//)
191
192      GO TO 9
193
194      ****
195      C*
196      C*          => SAIDA DOS DADOS VIA TERMINAL <-
197      C*
198      15 WRITE(5,16)ER,H,F,ACP,ZOC,T
199      16 FORMAT(1H1,25X,"CONFIRA",/21X,'ER = ',F9.5,/22X,'H = ',F9.5,1X
200      ** "MM",/22X,'F = ',F9.5,1X,"GHZ",/20X,"ACP = ",F9.5,1X,"DB",/20X
201      ** "ZOC = ",F9.5,1X,"OHMS",/22X,"T = ",F9.5,1X,"MM",//)
202
203      ****
204
205      PI=4.*ATAN(1.)
206
207      HMIN=0.2*H
208      HMAX=2.*H
209
210      SMIN=0.05*H
211      SMAX=2.*H
212
213      ****
214
215      CALL POPI(ACP,ZOC,ZOEC,ZOOC)
```

```
216
217 C*****+
218 WMED=(WMAX+WMIN)/2.
219 SMED=(SMAX+SMIN)/2.
220
221 I=1
222
223 C*****+
224 17 CALL ESPESSCR,T,SMED,H,WMED,WET,WOT)
225
226 CALL LIZZ(ER,H,WET,SMED,T,ZOC,ZOE3,ZOOCU,ERE3,EROCO)
227
228 CALL LIZZ(ER,H,WOT,SMED,T,ZOC,ZOOCO,ZOOF,EODOCO,FREO3)
229
230 CALL DISPER(ZOE3,ZOOF,F,WMED,SMED,H,ER,ERED3,ERE3,EREEF,EREOF
231      *,ZOEF,ZOOF)
232
233 W1=ABS(ZOOF-ZOOC)
234 S1=ABS(ZOEF-ZOEC)
235
236 IF(W1>0.000001)18,18,19
237 18 IF(S1>0.000001)20,20,19
238
239 19 WMED=(ZOEF/ZOEC)*WMED
240 SMED=(ZOOF/ZOOC)*SMED
241
242 I=I+1
243
244 IF(I.EQ.1001) GO TO 26
245
246 G3 TO 17
247
248 20 WMED=H/W
249 SH=SMED/H
250
251 EEF1=1./SQRT(EREEF)
252 EEF2=1./SQRT(EREOF)
253
254 EEF3=(EEF1+EEF2)
255
256 BDAF(3./F)*(10.,**2.)
257
258 COFI=(BDAF+EEF3)/8.
259
260 C*****+
261 C*
262 C*          -> SAIDA DOS RESULTADOS <-
263 C*
264
265 WRITE(5,21)WMED,WET,WOT,SMED,COFI,I
266
267
268
269
270
271
272
273
274
275
```

```
276      21 FORMAT(26X,'RESULTADOS',/,>22X,'W = ',F15.8,1X,'MM',/,>20X,'NET = ',  
277          *F15.8,1X,'MM',/,>20X,'WOT = ',F15.8,1X,'MM',/,>22X,'S = ',F15.8,  
278          *1X,'MM',/,>22X,'L = ',F15.8,1X,'MM',/,>22X,'I = ',I4,1X,'ITERACOES',  
279          *///)  
280  
281      WRITE(6,22)  
282      22 FORMAT(1H1)  
283  
284      WRITE(6,23)ZOC,F,ACP,ER,H,T,ZOEC,ZOEF,ZLOC,ZOOF  
285      23 FORMAT(47X,38('*'),/,>47X,'*',/,>47X,'*' CALCULO DE ACOPLADOR  
286          *ES DIRECIONAIS '*','/,>47X,'*' EM LINHAS MICROSTRIP ACOPLADAS '*','/  
287          **47X,'*',/,>36X,'*',/,>47X,38('*'),/,>42X,'IMPEDANCIA DE ENTRADA DESE  
288          *JADA = '2X,F9.5,1X,'DHMS',/,>42X,'FREQUENCIA DE OPERACAO = ',2X,F9.5,  
289          *1X,'GHZ',/,>42X,'ACOPLAMENTO DESEJADO = ',2X,F9.5,1X,'DB',/,>45X,'*'  
290          * CARACTERISTICAS DO DIELETRICO USADO '*'//,>57X,'ER = ',F9.5,/,>58X,  
291          *H = ',F9.5,1X,'MM',/,>58X,'T = ',F9.5,1X,'MM',  
292          **/,>53X,'* RESULTADOS OBTIDOS '*'//,>53X,'ZDEC = ',F15.8,/,>  
293          *53X,'ZOEF = ',F15.8,/,>53X,'ZLOC = ',F15.8,/,>53X,'ZOOF = ',F15.8,/,>  
294          *///)  
295  
296      WRITE(6,24)WMED,WH,WNET,SMED,SH,EREFF,EREOF,COFI  
297      24 FORMAT(47X," CARACTERISTICAS DAS LINHAS DE FITA : ",/,>47X,"W = ",  
298          *F15.8,1X,'MM',/,>6X,"W/H = ",F15.8,/,>45X,"NET = ",F15.8,1X,'MM',  
299          *6X,"WOT = ",F15.8,1X,'MM',/,>47X,'S = ',F15.8,1X,'MM',/,>6X,"S/H = ",  
300          *F15.8,/,>44X,"EFF = ",F15.8,8X,"E0FF = ",F15.8,/,>55X,"L = ",F15.8,  
301          *1X,'MM',/,>///)  
302  
303      WRITE(6,25)  
304      25 FORMAT(77X,'MCFITA3 = MVST/1905',/).  
305  
306 C*****  
307      GO TO 28  
308  
309 C*****  
310      26 WRITE(5,27)  
311      27 FORMAT(19X,"** NAO CONVERGIU CDM 1000 ITERACOES **",/)//)  
312  
313      28 WRITE(5,29)  
314      29 FORMAT(10X,"PARA UMA NOVA EXECUCAO DO PROGRAMA DIGITE 1.",/,>18  
315          *X,"PARA TERMINAR, DIGITE 2.",/)//)  
316  
317      READ(5,/)TERM  
318  
319      IF(TERM.EQ.1) GO TO 1  
320  
321      WRITE(5,30)  
322      30 FORMAT(5X,"*****",12X,"FIM DA EXECUCAO",12X,"*****",/)//)  
323  
324 C*****  
325      STOP  
326      END  
327 C*****  
328  
329      STOP  
330      END  
331      C*  
332      C*          #####  
333      C*          # FIM DO PROGRAMA PRINCIPAL #  
334      C*          #####  
335      C*
```

```
336 C*****#
337 C*
338 C*          #####
339 C*          # SURROTINAS #
340 C*          #####
341 C*
342
343      SUBROUTINE DADD1(NU,ER,H,T)
344
345 C*****#
346 C*
347 C*          SUBROTINA DADD1
348 C*
349 C*      ESTA SUBROTINA FORNECE AS CARACTERISTICAS DOS SUBSTRATOS
350 C*          DA RT/DUROID DISPONIVEIS NO INPE
351 C*
352 C*****#
353
354      IF(NU.EQ.1) GO TO 1
355
356      IF(NU.EQ.2) GO TO 2
357
358      IF(NU.EQ.3) GO TO 3
359
360      IF(NU.EQ.4) GO TO 4
361
362      1 ER=2.2
363      H=0.7874
364      T=0.0356
365
366      GO TO 5
367
368      2 ER=2.2
369      H=1.575
370      T=0.0356
371
372      GO TO 5
373
374      3 ER=10.5
375      H=0.635
376      T=0.0356
377
378      GO TO 5
379
380      4 ER=10.5
381      H=1.27
382      T=0.0356
383
384      5 RETURN
385      END
386
387 C*****#
388
389      SUBROUTINE POPI(ACP,ZOC,ZOEC,ZOOC)
390
391 C*****#
392 C*
393 C*          SUBROTINA POPI
394 C*
395 C*      ESTA SUBROTINA CALCULA AS IMPEDANCIAS DOS MODOS PAR E IMPAR
```

```

396          EM FUNCAO DE UM DADO ACOPLAMENTO
397
398 C*****
399
400      CAP=ACP/(C-20.)
401      ACO=10.*CAP
402
403      ZOEC=ZOC*SQRT((1.+ACO)/(1.-ACO))
404      ZOOC=ZOC*SQRT((1.-ACO)/(1.+ACO))
405
406      RETURN
407      END
408
409 C*****
410
411      SUBROUTINE LIZZ(ER,H,W,S,T,ZO,ZOO,EMEE,ERED)
412
413 C*****
414 C*
415 C*                      SUBROTINA LIZZ
416 C*
417 C*      ESTA SUBROTINA CALCULA AS CAPACITANCIAS TOTAIS DOS MODOOS PAR E *
418 C*      IMPAR, AS IMPEDANCIAS CARACTERISTICAS E AS CONSTANTES DIFLETICAS *
419 C*      EFETIVAS DOS MODOOS PAR E IMPAR EM FUNCAO DAS CAPACITANCIAS TOTAIS *
420 C*
421 C*****
422 C*      C=3.E8
423
424 C*****
425
426      CALL CAP1(ER,W,H,ZO,S,CP,CF,CFL,CGA,CGD)
427
428 C*****
429
430      CE=CO+CF+CFL
431      CO=CP+CF+CGA+CGD
432
433 C*****
434
435      CALL CAP1(1.,W,H,ZO,S,CPR,CFR,CF2R,CGAR,CGDR)
436
437 C*****
438
439      CEA=CPR+CFR+CF2R
440      CDA=CPR+CFR+CGAR+CGDR
441
442
443      ZOE=1./(C*SQRT(CE*CEA))
444      ZOO=1./(C*SQRT(CO*CDA))
445
446      EREE=CE/CEA
447      EREU=CU/COA
448
449      RETURN
450      END
451
452 C*****
453
454      SUBROUTINE DISPER(ZOE,ZOO,F,W,S,H,ER,ERED,EREE,EPEOF,ZOEF

```

```
455      **Z00F)
456
457      C*****
458      C*
459      C*          SUBRUTINA DISPER
460      C*
461      C*          ESTA SUBRUTINA CONSIDERA O EFEITO DA DISPERSAO NO CALCULO
462      C*          DAS CONSTANTES DIELETRICAS EFETIVAS E IMPEDANCIAS CARACTERISTICAS
463      C*          DOS MUDOS PAR E IMPAR, EREFE E FREF, ZOEF E Z00F RESPECTIVAMENTE.
464      C*
465      C*****
466
467      PI=4.*ATAN(1.)
468
469      G0=0.6+0.018*Z00
470      GE=0.6+0.0045*Z0E
471
472      FPO=31.32*Z00/H
473      FPE=7.83*Z0E/H
474
475      FFO=F/FPO
476      FFE=F/FPE
477
478      EREFE=ER=((ER-ER0)/(1.+G0*(FF0**2)))
479      EREOF=ER=((ER-EREE)/(1.+GE*(FFE**2)))
480
481      TAN1=TANH((PI*W)/(4.*H))
482      TAN2=TANH((PI*(W+S))/(4.*H))
483
484      AK0=TAN1/TAN2
485      AKOL=SQRT(1.-AK0**2)
486
487      C*****+
488      CALL KELL(AK0,AKOL,CK0)
489
490      C*****+
491      ZTO=(60.*PI/SQRT(ER))*CK0
492
493      AKE=TAN1*TAN2
494      AKEL=SQRT(1.-AKE**2)
495
496      C*****+
497      CALL KELL(AKE,AKEL,CKE)
498
499      C*****+
500      ZTE=(60.*PI/SQRT(ER))*CKE
501
502      Z00F=ZTO-((ZTO-Z00)/(1.+G0*(FF0**1.6)))
503      ZOEF=ZTE-((ZTE-Z0E)/(1.+GE*(FFE**1.6)))
504
505      RETURN
506      END
507
508      C*****#
509
510      C*****#
511
512      C*****#
513
514      SJROUTINE ESPESS(ER,T,S,H,WET,WOT)
```

```
515 *****  
516 C*****  
517 C*  
518 C* SUBROTINA ESPESS  
519 C*  
520 C* ESTA SUBROTINA FAZ A CORRECAO NA LARGURA DA LINHA  
521 C* DE FITA E CALCULA SUA IMPEDANCIA CARACTERISTICA  
522 C* LEVANDO EM CONTA O EFEITO DA ESPESSURA FINITA T  
523 C* DA FITA CONDUTORA  
524 C*  
525 *****  
526 PI=4.*ATAN(1.)  
527 IF(T.EQ.0) GO TO 1  
528 DT=((1./ER)*(T/S))*H  
529 DN=(T/PI)*(1.+ALOG(4.)*0.5*ALOG((T/H)**2+(T/(PI*W))**2))  
530 WET=W+DH*(1.-0.5*EXP(-0.69*DW/DT))  
531 WDT=WET+DT  
532 GO TO 2  
533 1 WET=W  
534 WDT=W  
535 2 RETURN  
536 END  
537  
538 *****  
539 SJROUTINE CAP1(ER,W,H,Z0,S,CP,CFL,CuA,CgD)  
540  
541 C*****  
542 C* SURROTINA CAPI  
543 C*  
544 C* ESTA SUBROTINA CALCULA AS CAPACITANCIAS  
545 C* INERENTES AS LINHAS DE MICROFITA ACOPLADAS  
546 C*  
547 *****  
548 WH=W/H  
549 PI=4.*ATAN(1.)  
550 E0=8.854E-12  
551 C=3.E8  
552  
553 CP=(E0*ER)*WH  
554 CF=(SQR(ERE)/(C*Z0)-CP)/2.  
555  
556 A=EXP(-0.1*EXP(2.33-2.53*WH))  
557 CFL=(CF)/(1.+A*(H/S)*TANH(B.*S/H))  
558  
559 BK=S/(S+(2.*W))  
560 BKL=SQR(1.-BK**2)  
561  
562 *****  
563 *****  
564 *****  
565 *****  
566 *****  
567 *****  
568 *****  
569 *****  
570 *****  
571 *****  
572 *****  
573 *****  
574 *****
```

```
575      CALL KELL(BK,BKL,BKS)
576
577 C*****+
578
579      CGA=E0/BKS
580      CGD=((E0*ER)/PI)*ALOG(1./TANH((PI/4.)*(S/H)))+
581      *0.65*(CF)*((0.02*H/S)*SQRT(ER)+1.-(1./(LR)**2))
582
583      RETURN.
584      END
585
586 C*****+
587
588      SUBROUTINE KELL(AK,AKL,AKS)
589
590 C*****+
591 C*
592 C*                               SUBROTINA KELL
593 C*
594 C*      ESTA SUBROTINA CALCULA A RELACAO ENTRE A FUNCAO ELIPTICA
595 C*      K(K) E SEU COMPLEMENTO K(K')
596 C*
597 C*****+
598
599      PI=4.*ATAN(1.)
600      IF (AK**2.LE.0.5) GO TO 1
601
602      AKS=PI/( ALOG(2.*((1.+SQRT(AK))/(1.-SQRT(AKL)))) )
603
604      GO TO 2
605
606      1 AKS=ALOG(2.*((1.+SQRT(AKL))/(1.-SQRT(AKL))))/PI
607
608      2 RETURN
609      END
610
611 C*****+
612 C*
613 C*                               MARCUS VINICIUS SANTIAGO TORRES - ESTAGIARIO
614 C*
615 C*****+
```

A.2 - COMO USAR O PROGRAMA

Os dados de entrada são "solicitados pelo terminal" como exposto a seguir:

NU - Escolha de um dos dielétricos da RT/DUROID disponíveis no INPE. Permite-se também que seja escolhido um outro dielétrico qualquer.

Têm-se cinco operações a saber:

de 1 a 4 - dielétricos RT/DUROID,
5 dielétrico qualquer.

Caso seja escolhida uma opção de 1 a 4, uma sub-rotina fornecerá os seguintes parâmetros:

ER - constante dielétrica relativa do substrato escolhido,

H - espessura do substrato em mm,

T - espessura da fita condutora em mm.

A solicitação de dados continua com:

F - Freqüência de operação em GHz.

ACP - Acoplamento desejado em dB.

Restrição: para acoplamentos mais fortes que 5 dB, não é aconselhável o uso de linhas "microstrip" devido ao espaçoamento S entre as linhas tornar-se muito pequeno.

Z_{0C} - Impedância característica da entrada e saída desejada para o acoplador em (Ω).

TERM - Possibilita nova execução do programa (1) ou termina-a (2).

No caso de ser escolhido um dielétrico não fabricado pe
la RT/DUROID (NU, opção 5), os parâmetros ER, H e T, fornecidos pela
sub-rotina, deverão ser fornecidos pelo usuário, obedecendo as seguin
tes restrições:

- a) $1 \leq \epsilon_r \leq 130$,
- b) $H > 0$,
- c) $T \geq 0$.

Para $T = 0$, este parâmetro não vai ser considerado.

O formato de entrada dos dados é livre.

- A.12 -

* LINHAS MICROSTRIP ACUP1 ADAs *

NA CONFECÇÃO DE ACOPLADORES DIRECTIONAIS
PODEM SER USADOS OS SEGUINTEIS DIELETRICOS

- 1) PT/DUROID 5860 (H=0.031", ER=2.2, T=1.0 OZ)
- 2) PT/DUROID 5860 (H=0.062", ER=2.2, T=1.0 OZ)
- 3) PT/DUROID 6010 (H=0.025", ER=10.5, T=1.0 OZ)
- 4) PT/DUROID 6010 (H=0.050", ER=10.5, T=1.0 OZ)
- 5) NENHUM DOS ACIMA

* ESCOLHA UMA DAS ALTERNATIVAS ACIMA #
* DIGITANDO O NUMERO CORRESPONDENTE #

4

* ENTRE COM OS SEGUINTEIS PARAMETROS *

F = FREQUENCIA DE OPERACAO EM GHZ

2.275

ACP = ACOPLAMENTO DESEJADO EM DB

20

ZOC = IMPEDANCIA DE ENTRADA DESEJADA

50

CONFIRA
ER = 10.50000
H = 1.27000 MM
F = 2.27500 GHZ
ACP = 20.00000 DB
ZOC = 50.00000 OHMS
T = 0.03560 MM

PARA UMA NOVA EXECUCAO DO PROGRAMA DIGITE 1.
PARA TERMINAR, DIGITE 2.

2

FIM DA EXECUCAO

A.3 - EXEMPLO DE UTILIZAÇÃO

```
*****  
* CALCULO DE ACOPLOADORES DIRECIONAIS *  
* EM LINHAS MICROSTRIP ACOPLADAS *  
*****
```

IMPEDANCIA DE ENTRADA DESEJADA = 50.00000 UHMS
FREQUENCIA DE OPERACAO = 2.27500 GHZ
ACOPLAMENTO DESEJADO = 20.00000 DB

* CARACTERISTICAS DO DIELETRICO USADO *

ϵ_r = 10.50000
 h = 1.27000 MM
 t = 0.03560 MM

* RESULTADOS OBTIDOS *

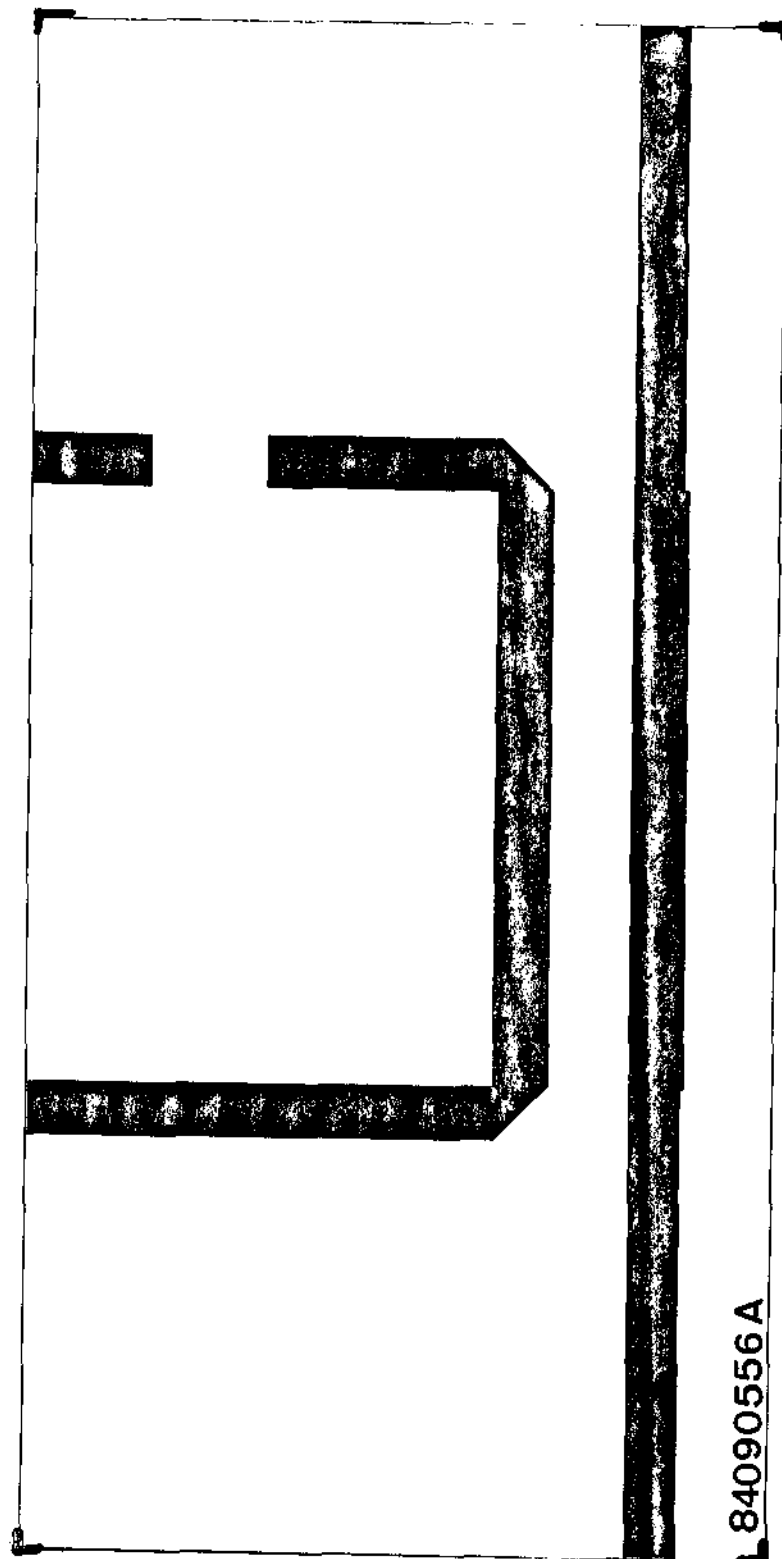
Z0EC = 55.27707984
Z0EF = 55.27707954
Z0OC = 45.22670169
Z0OF = 45.22670200

* CARACTERISTICAS DAS LINHAS DE FITA :

w = 10.50399831 MM	w/h = 6.11338450
w_{et} = 10.37153541 MM	w_{ot} = 10.37513456 MM
s = 1.19636513 MM	s/h = 0.94201979
w_{eff} = 10.50000000	e_{off} = 3.36034387
L = 14.07895898 MM	

A.4 - ACOPLADOR DE 20 dB

Máscara para confecção do circuito impresso.



A.5 - ACOPLADOR 20 dB

Gráficos das características levantadas.

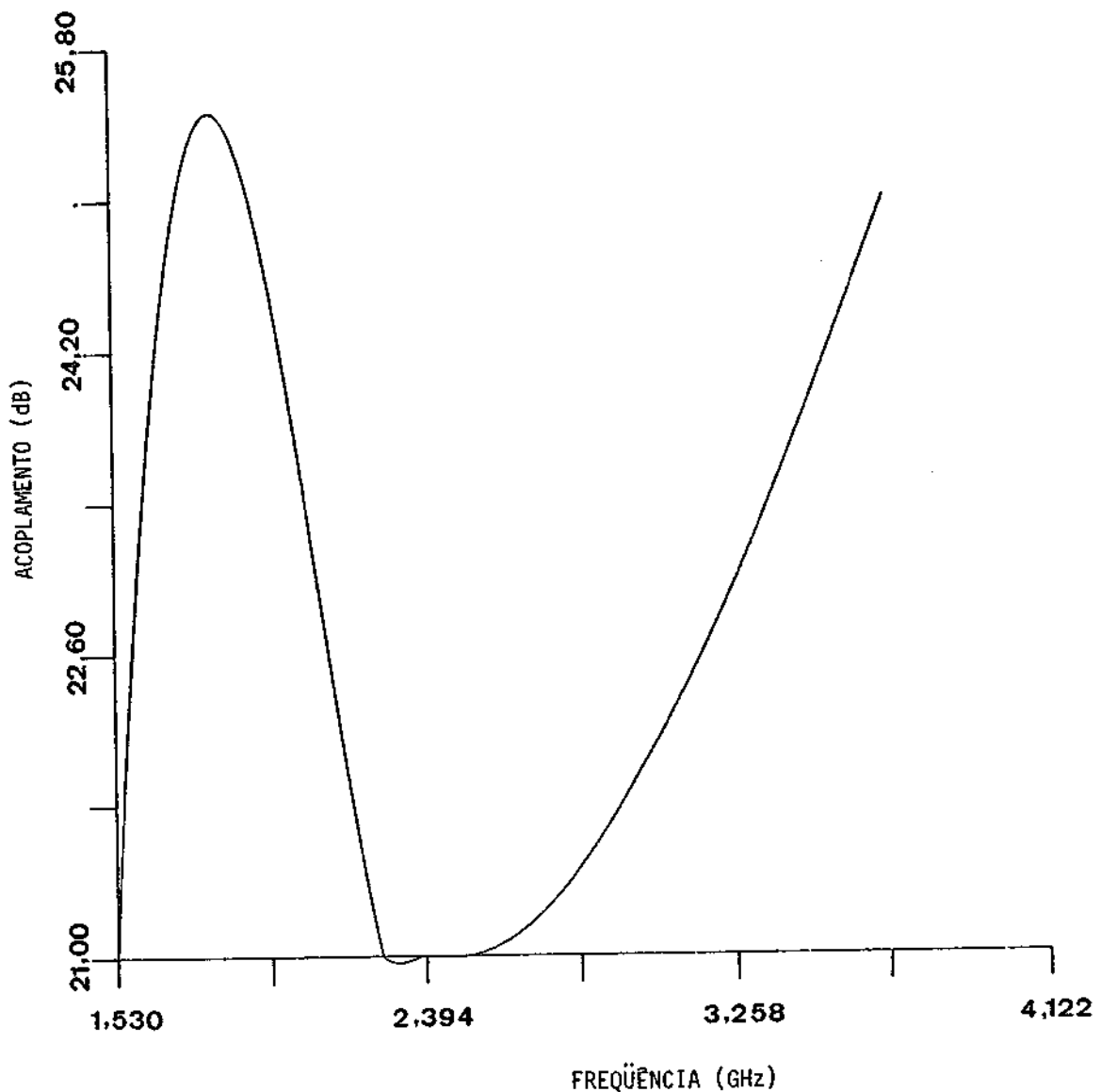


Fig. A.1 - Gráfico do acoplamento versus freqüência.

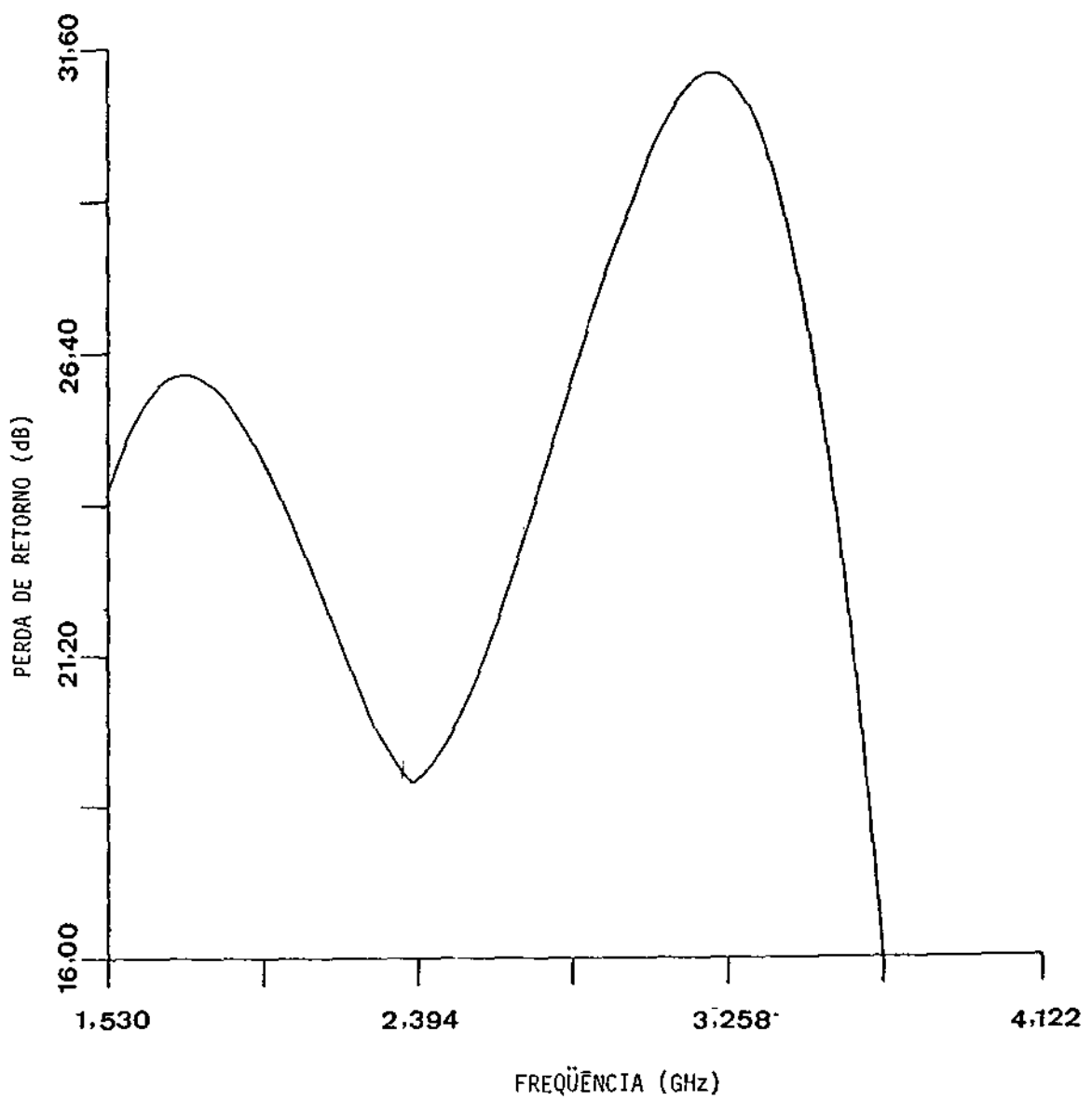


Fig. A.2 - Gráfico da perda de retorno versus freqüênciâ.

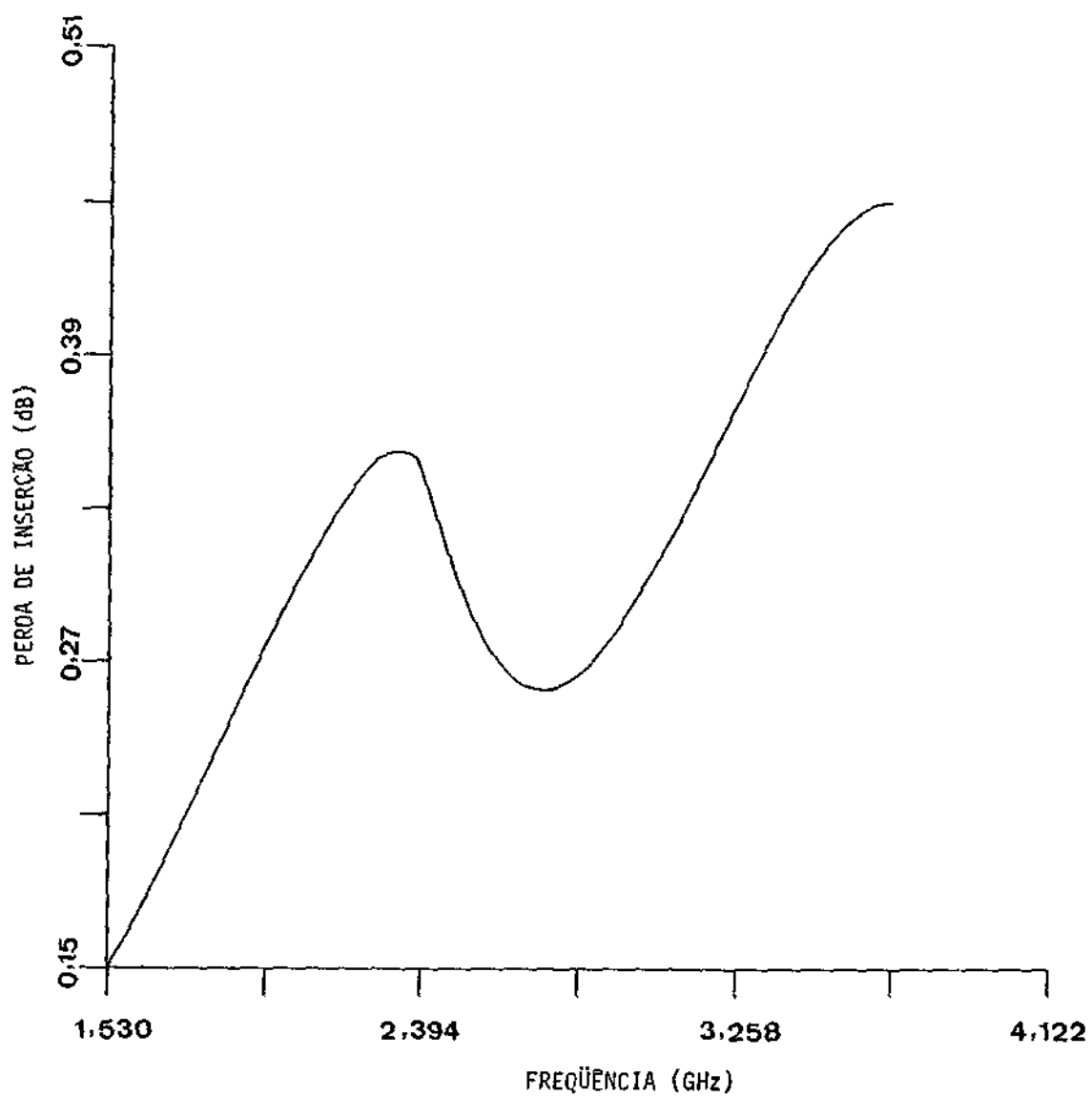


Fig. A.3 - Gráfico da perda de inserção versus freqüência.

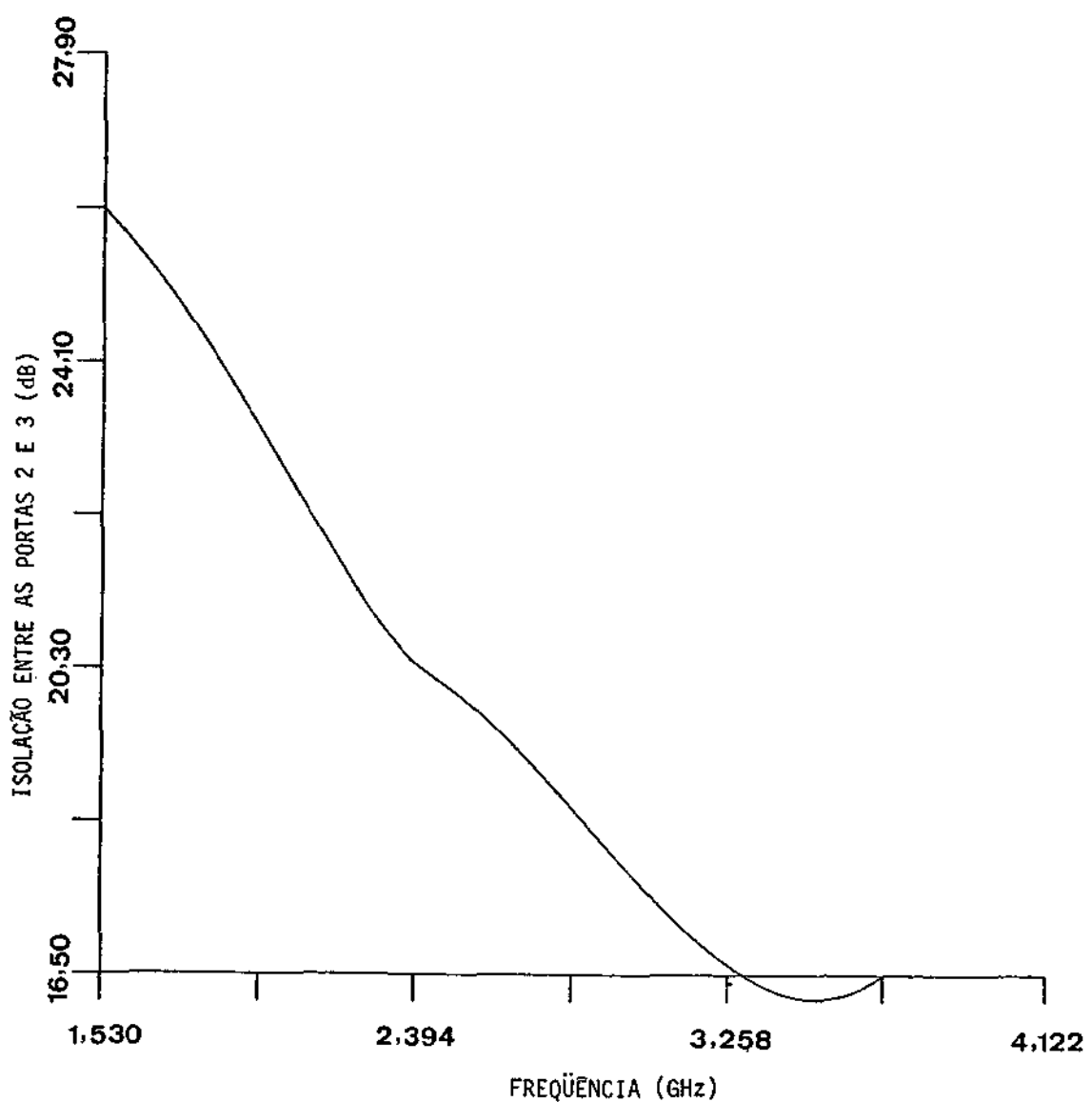


Fig. A.4 - Gráfico da isolacão entre as portas 2 e 3 (dB) versus freqüência.

APÊNDICE B

LINHAS "STRIPLINE" ACOPLADAS

B.1 - PROGRAMA FORTRAN PARA CÁLCULO DE ACOPLADORES

```
100  ****  
101  C*  
102  C*          PROGRAMA STRIP  
103  C*  
104  C*          #####  
105  C*          * CALCULO DE ACOPLADORES DIRECIONAIS *  
106  C*          * EM LINHAS STRIPLINE ACOPLADAS *  
107  C*          #####  
108  C*  
109  C*          INPE - SAO JOSE DOS CAMPOS - 1984/85  
110  C*  
111  C*          ****  
112  FILE 5(KIND=REMOTE,MYUSE=10)  
114  FILE 6(KIND=PRINTER)  
115  
116  ****  
117  1 WRITE(5,2)  
119  2 FORMAT(1H1,15X,'S CALCULO DE ACOPLADORES-DIRECIONAIS $',/,15X,' S  
120  * EM LINHAS STRIPLINE ACOPLADAS $',//)  
121  
122  WRITE(5,3)  
123  3 FORMAT(12X,'> PODEM SER USADOS OS SEGUINTES VIELETRICOS : ',//,17  
* X,'1) RT/DUROID 5880 (H=0.7874, ER=2.2)',/,17X,'2) RT/DUROID 5860  
* (H=1.575, ER=2.2)',/,17X,'3) RT/DUROID 6010 (H=0.635, ER=10.5)',/,  
* 17X,'4) RT/DUROID 6010 (H=1.27, ER=10.5)',/,17X,'5) NENHUM DOS ACI  
* MA',//,'16X,> ESCOLHA UMA DAS ALTERNATIVAS ACIMA <',/,'16X,> DIGI  
* TANDO O NUMERO CORRESPONDENTE <',//)  
129  
130  READ(5,/)ESC  
131  
132  IF(ESC.EQ.5) GO TO 4  
133  
134  ****  
135  CALL DADOS(ESC,ER,H2)  
136  
137  ****  
138  4 WRITE(5,5)  
139  5 FORMAT(1H1,16X,'> ENTRE COM OS SEGUINTES PARAMETROS <',//)  
140  
141  6 FORMAT(14X,'> ER = CONSTANTE DIELETRICA DO SUBSTRATO <',//)  
142  
143  READ(5,/)ER  
144  
145  WRITE(5,6)  
146  7 FORMAT(17X,'> H2 = ESPESSURA DO SUBSTRATO EM MM <',//)  
147  
148  READ(5,/)H2  
149  
150  8 WRITE(5,9)  
151  9 FORMAT(17X,'> ACP = ACOPLAMENTO DESEJADO EM DB <',//)
```

```
157      READ(5,/)ACP
158
159      10 WRITE(5,11)
160      11 FORMAT(15X,'> ZOC = IMPEDANCIA DE ENTRADA DESEJADA <',//)
161
162      READ(5,/)ZOC
163
164      WRITE(5,12)
165      12 FORMAT(17X,'> F = FREQUENCIA DE OPERACAO EM GHZ <',//)
166
167      READ(5,/)F
168
169      ****
170
171      H=H2*2.
172      PI=4.*ATAN(1.)
173      PI2=2.*PI
174      PI8=PI/8.
175      PIH=PI/H
176      C4=300./(4.*F)
177
178      ****
179      CALL IMPACC(ACP,ZOC,ZOEC,ZOOC)
180
181      ****
182      CALL SYNTES(ZOEC,ZOOC,ER,PI,H,W,S)
183
184      ****
185
186      U1MED=S/2.
187      U2MED=H+U1MED
188
189      ETA=((120.*PI)*SQR((1./ER)))
190
191      ****
192      I=1
193
194      ****
195
196      13 CALL IMPED(ETA,U1MED,U2MED,PIH,PI2,PI8,ZOEC,ZOOC,ZOE,ZOO)
197
198      ****
199
200      U22=ABS(ZOE-ZOEC)
201      U11=ABS(ZOO-ZOOC)
202
203
204      IF(U11<0.00001)14,14,15
205      14 IF(U22<0.00001)16,16,15
206
207      15 U1=(ZOE/ZOEC)*U1MED
208      U2=(ZOO/ZOOC)*U2MED
209
210
211      U1MED=U1
212      U2MED=U2
213
214
215      ****
```

```
217      I=I+1
218
219      IF(I.EQ.1001) GO TO 25
220
221      ****
222      GO TO 13
223
224      16 S=2.*U1MED
225          SH=S/M
226
227          H=U2MED=U1MED
228          HH=H/M
229
230          CACO=((ZOE-ZOO)/(ZOE+ZOO))
231
232      ****
233
234      ****
235
236          WRITE(6,17)
237          17 FORMAT(1H1,//,33X,68('S'),/33X,'S',66X,'S',/33X,'$ CALCULO DE AC
238          *OPLADORES DIRECIONAIS EM LINHAS STRIPLINE ACOPLADAS $',/33X,'S',6
239          *6X,'S',/33X,68('S'),//)
240
241          WRITE(6,18)ACP,ZOC,F
242          18 FORMAT(45X,'ACOPLAMENTO DESJEADO = ',F7.4,1X,'DB',//45X,'IMPEDANCI
243          *A DE ENTRADA DESEJADA = ',F7.4,1X,'OHMS',//45X,'FREQUENCIA DE OPER
244          *ACAO = ',F7.4,1X,'GHZ',//)
245
246          WRITE(6,19)ER,H2
247          19 FORMAT(44X,'> CARACTERISTICAS DO DIELETRICO USADO <-',//,57X,'ER
248          *= ',F9.5,/,58X,'H = ',F9.5,1X,'MM',//)
249
250          WRITE(6,20)I,ZOE,ZOO,ZOEC,CACO
251          20 FORMAT(42X,'> RESULTADOS OBTIDOS APOS ',I4,1X,'ITERACOES <-',//,
252          *36X,'ZOE = ',F15.8,14X,'ZOO = ',F15.8,/,36X,'ZOEC = ',F15.8,13X,
253          *'ZOC = ',F15.8,/,44X,'COEFICIENTE DE ACOPLAMENTO = ',F15.8,//)
254
255          WRITE(6,21)W,WH,S,SH,C4
256          21 FORMAT(46X,'> CARACTERISTICAS DAS LINHAS DE FITA <-',//,47X,'W =
257          *',F15.8,1X,'MM',6X,'W/H = ',F15.8,/,47X,'S = ',F15.8,1X,'MM',6X,
258          *'S/H = ',F15.8,/,51X,'COMPRIMENTO LAMBDA/4 = ',F15.8,1X,'MM',//)
259
260          WRITE(6,22)
261          22 FORMAT(55X,'> ASPECTO DO ACOPLADOR <-',//)
262
263          WRITE(6,23)
264          23 FORMAT(42X,45('=-'),1X,'<',/60X,'>= S = <',/51X,9('=-')9X,9('=-')
265          *10X,'2H',/,51X,'>= W <',9X,'>= H = <',/42X,45('=-')1X,'<',//)
266
267          WRITE(6,24)
268          24 FORMAT(70X,'STRIP = MVST/1984/85',//)
269
270          GO TO 27
271
272      ****
273
274          25 WRITE(5,26)
275          26 FORMAT(1H1,////,13X,'> NAO CONVERGIU COM 1000 ITERACOES <-',//)
```

```
277      27 WRITE(5,28)
278      28 FORMAT(//,12X,'> PARA UMA NOVA EXECUCAO DO PROGRAMA DIGITE 1 <',/
279      29      '>,19X,'> PARA TERMINAR DIGITE 2 <',//)
280
281      READ(5,/)TERM
282
283      IF(TERM.EQ.1) GO TO 1
284
285      WRITE(5,29).
286      29 FORMAT(1H1,14(''),12X,'FIM DA EXECUCAO',12X,14(''),//)
287
288      STOP
289      END
290
291 *****SUBROUTINE DADOS(ESC,ER,H)
292
293
294 *****SUBROUTINA DADOS
295
296      C*
297      C*          ESTA SUBROTINA FORNECE OS PARAMETROS ER E H
298      C*          DOS DIELETRICOS DA RT/DUROID DISPONIVEIS NO INPE
299
300
301
302 *****IF(ESC.EQ.1) GO TO 1
303
304      IF(ESC.EQ.2) GO TO 2
305
306      IF(ESC.EQ.3) GO TO 3
307
308      IF(ESC.EQ.4) GO TO 4
309
310
311
312      C*  1) RT/DUROID 5880 H=0.031"
313
314      1  ER=2.2
315      H=0.7874
316
317      GO TO 5
318
319
320
321      C*  2) RT/DUROID 5880 H=0.062"
322
323      2  ER=2.2
324      H=1.575
325
326      GO TO 5
327
328
329
330      C*  3) RT/DUROID 6010 H=0.025"
331
332      3  ER=10.5
333      H=0.635
334
335
336
```

```
337      GO TO 5
338
339  ****
340
341 C*   4) RT/DUROID 6010 H=0.050"
342
343     4. ER=10.5
344     H=1.27
345
346      5 RETURN
347      END
348
349  ****
350
351      SUBROUTINE IMPAC(ACP,Z0C,Z0EC,Z0OC)
352
353  ****
354 C*
355 C*           SUBROTINA IMPAC
356 C*
357 C*           ESTA SUBROTINA CALCULA AS IMPEDANCIAS
358 C*           DOS MODOOS PAR E IMPAR EM FUNCAO DO ACRELAMENTO DESEJADO
359 C*
360  ****
361
362     ACO=10.**(ACP/(-20.))
363
364     Z0EC=Z0C*SQRT((1.+ACO)/(1.-ACO))
365     Z0OC=Z0C*SQRT((1.-ACO)/(1.+ACO))
366
367     RETURN
368     END
369
370  ****
371
372      SUBROUTINE SYNTES(Z0EC,Z0OC,ER,PI,H,S)
373
374  ****
375 C*
376 C*           SUBROTINA SYNTES
377 C*
378 C*           ESTA SUBROTINA CALCULA NUMA PRIMEIRA APROXIMACAO
379 C*           OS VALORES DOS PARAMETROS H E S
380 C*
381  ****
382
383     X=(Z0EC*SQRT(ER))/(30.*PI)
384
385     IF(X.LE.1) GO TO 6
386
387     EKE=SQRT(1.-((EXP(PI*X)-2.)/(EXP(PI*X)+2.))**4.)
388
389     GO TO 7
390
391     6 EKE=((EXP(PI/X)-2.)/(EXP(PI/X)+2.))**2.
392
393     7 X1=(Z0OC*SQRT(ER))/(30.*PI)
394
395     IF(X1.LE.1) GO TO 8
396
```

```
397      EKD=SQRT(1.+((EXP(PI*X1)-2.)/(EXP(PI*X1)+2.))**4.)
398      GO TO 9
399
400      E K D = ((EXP(P I / X 1 ) - 2 . ) / (EXP(P I / X 1 ) + 2 . ) ) ** 4 .
401
402      H = ((2 . / P I ) * ATAN(SQRT(EKE*EK0))) * H
403      S = ((2 . / P I ) * ATAN(((1 . - EKD) / (1 . + EKE)) * SQRT(EKE/EK0))) * H
404
405      RETURN
406      END
407
408 ***** ****
409
410      SUBROUTINE IMPED(ETA,U1,U2,PH,P2,P8,ZOEC,ZOOC,ZOE,ZOO)
411
412      ****
413      C*
414      C*
415      C*          SUBROTTINA IMPED
416      C*
417      C*          ESTA SUBROTTINA CALCULA AS IMPELÂNCIAS
418      C*          DOS MODOOS PAR E IMPAR
419      C*          DA LINHA STRIPLINE ACOPLADA
420      C*
421 ***** ****
422
423      ETA4=ETA/4.
424
425      PHU1=PH*U1
426      PHU2=PH*U2
427
428      COS1=SQRT((COSH(PHU2))/(COSH(PHU1)))
429
430      IF(ZOEC.LE.ETA4) GO TO 10
431
432      COS2=(COS1+1.)
433      COS3=(COS1-1.)
434
435      ZOE=(ETA/P2)*ALOG(2.*((COS2)/(COS3)))
436
437      GO TO 11
438
439      10 ZOE=(ETA*P8)/(ALOG(2.*COS1))
440
441      11 SIN1=SQRT((SINH(PHU2))/(SINH(PHU1)))
442
443      IF(ZOOC.LE.ETA4) GO TO 12
444
445      SIN2=(SIN1)+1.
446      SIN3=(SIN1)-1.
447
448      ZOO=(ETA/P2)*ALOG(2.*((SIN2)/(SIN3)))
449
450      GO TO 13
451
452      12 ZOO=(ETA*P8)/(ALOG(2.*SIN1))
453
454      13 RETURN
455      END
456
457 ***** ****
458      C*
459      C*          MARCUS VINICIUS SANTANA TORRES - ESTAGIARIO
460      C*
461 ***** ****
```

B.2 - COMO USAR O PROGRAMA

Os dados de entrada são solicitados pelo terminal como exposto a seguir:

ESC - Escolha de um dos dielétricos da RT/DUROID disponíveis no INPE. Permite também que seja escolhido um outro dielétrico qualquer.

Têm-se cinco opções a saber:

de 1 a 4 - dielétricos RT/DUROID,
5 - qualquer dielétrico.

Caso seja escolhida uma opção de 1 a 4, uma sub-rotina fornecerá automaticamente, de acordo com a opção, os seguintes parâmetros:

ER - constante dielétrica relativa do substrato escolhido,

H2 - espessura do substrato escolhido em mm.

A solicitação de dados continua com:

ACP - Acoplamento desejado em dB.

Z_{0C} - Impedância de entrada e saída desejada para o acoplador (em Ω).

TERM - Possibilita nova execução do programa (1) ou termina-a (2).

O formato de entrada dos dados é livre.

§ CALCULO DE ACOPLAGENS DIRECIONAIS §
§ EM LINHAS SIMPLIFICADAS ACopladas §

>> DEVERÁ SER USADOS OS SEGUINTE S DIELÉTRICOS :

- 1) RT/DURATO 5800 ($\epsilon_r=6,7874$, $\epsilon_R=2,2$)
- 2) RT/DURATO 5800 ($\epsilon_r=1,575$, $\epsilon_R=2,2$)
- 3) RT/DURATO 5012 ($\epsilon_r=0,635$, $\epsilon_R=10,5$)
- 4) RT/DURATO 5010 ($\epsilon_r=1,27$, $\epsilon_R=1,5$)
- 5) VARIAR OS VALORES

> ESCOLHA UMA DAS ALTERNATIVAS ACIMA <
> DIGITANDO O NÚMERO CORRESPONDENTE <

E

>> ENTRE COM OS SEGUINTE S PARÂMETROS <

> KCP = COUPLAMENTO DESEJADO EM DB <

ZP

> ZFO = IMPEDÂNCIA DE ENTRADA RESEJADA <

FR

> F = FREQUÊNCIA DE OPERAÇÃO EM GHZ <

± 0,275

> PARA USAR NOVA EXECUÇÃO DO PROGRAMA DIGITE 1 <
> PARA TORNARIG DIGITE 2 <

?

FIM DA EXECUÇÃO

B.3 - EXEMPLO DE UTILIZAÇÃO

ACOPLAMENTO DESEJADO = 20.0000 DB
IMPEDANCIA DE ENTRADA DESEJADA = 50.0000 OHMS
FREQUENCIA DE OPERACAO = 2.2750 GHZ

→ CARACTERÍSTICAS DO DIELETÓICO USADO ←

Eh = 2.20000
n = 0.78740 MM

-> RESULTADOS OBTIDOS APOS 51 ITERACOES <-

ZOE = 55.27707158 ZOO = 45.22669537
ZOEC = 55.27707984 ZOOC = 45.22670169

COEFICIENTE DE ACOPLAMIENTO * 0.1000000

•> CARACTERÍSTICAS DAS LINHAS DE FITA <•

W = 1.47671815 MM W/H = 0.81071765
 S = 0.45104366 MM S/H = 0.30546334
 COMPRIMENTO LAMHDA/4 = .32967033E+02 MM

•> ASPECTO DO ACOPLAGGIO <-

>= S -< 2H
>= H << >= H -< <

STRIP = MVST/1984/85

• •

APÊNDICE C

LINHAS "BROADSIDE" ACOPLADAS

C.1 - PROGRAMA FORTRAN PARA CÁLCULO DE ACOPLADORES

```
100      ****  
101      C*  
102      C*          - PROGRAMA ACBROAD -  
103      C*  
104      C*          #####  
105      C*          # CALCULO DE ACOPLADORES DIRECIONAIS EM LINHAS BROADSIDE #  
106      C*          # PARA QUALQUER COMBINACAO DE DIELETRICOS DE MESMO ER. #  
107      C*          # UTILIZA ARQUIVOS DE DADOS #  
108      C*          #####  
109      C*  
110      C*          INPE - SAO JOSE DOS CAMPOS - 1984/85  
111      C*  
112      C*****  
113  
114      FILE 5(KIND=REMOTE,MYUSE=10)  
115      FILE 6(KIND=PRINTER)  
116      FILE 7(KIND=DISK, FILETYPE=7,TITLE="DABROAD5")  
117  
118      DIMENSION AG(1),EX(1)  
119  
120      ****  
121      C*  
122      C*          # ENTRADA DE DADOS #  
123  
124      1 WRITE(5,2)  
125      2 FORMAT(1H1,2X,59(*,*),/3X,* CALCULO DE ACOPLADORES DIRECIONAIS E  
126      * LINHAS BROADSIDE ***/3X,59(*,*),///)  
127  
128      WRITE(5,3)  
129      3 FORMAT(15X,*ENTRE COM OS SEGUINTES PARAMETROS :*,///)  
130  
131      WRITE(5,4)  
132      4 FORMAT(14X,*ZOC - IMPEDANCIA DE ENTRADA DESEJADA*:///)  
133  
134      READ(5,/)ZOC  
135  
136      WRITE(5,5)  
137      5 FORMAT(15X,*F - FREQUENCIA DE OPERACAO EM GHZ*:///)  
138  
139      READ(5,/)F  
140  
141      WRITE(5,6)  
142      6 FORMAT(13X,*ER - CONSTANTE DIELETERICA DO SUBSTRATO*:///)  
143  
144      READ(5,/)ER  
145  
146      WRITE(5,7)  
147      7 FORMAT(18X,*NDAODOS - NUMERO DE DADOS*:///)  
148  
149      READ(5,/)NDAODOS  
150  
151      J=1  
152  
153      DO 25 I=1,NDAODOS  
154  
155      READ(7,/)S,B,S8  
156
```

```
157 C*****  
158 C*  
159 C*      # INICIALIZACAO DA ITERACAO #  
160  
161      PI=4.*ATAN(1.)  
162      CI=0.0  
163      CF=0.9  
164      S CM=(CI+CF)/2.  
165  
166 C*****  
167 C*  
168 C*      # CALCULOS #  
169  
170      AAK=((60.*PI)/(ZOC*SQRT(ER)))*SQRT((1.-CM)/(1.+CM))  
171  
172      IF(AAK.LE.1.) GO TO 9  
173  
174      EK=(((0.5*EXP(PI*AAK)-1.)/(0.5*EXP(PI*AAK)+1.))**2.  
175  
176      GO TO 10  
177  
178      9 EK=SQRT(1.-((0.5*EXP(PI*(1./AAK))-1.)/(0.5*EXP(PI*(1./AAK))+  
179      *1.))**4.)  
180  
181      10 A=0.0017*ZOC*SQRT(ER)*ALOG((1.+EK)/(1.-EK))  
182  
183      SBI=A*SQRT((1.-CM)/(1.+CM))  
184  
185      IF(ABS(SBI-SB).LT.0.000001) GO TO 12  
186  
187      IF(SBI.LT.SB) GO TO 11  
188  
189      CI=CM  
190      GO TO 8  
191  
192      11 CF=CM  
193      GO TO 8  
194  
195      12 R=SQRT((EK*(1./SBI)-1.)/(((1./EK)*(1./SBI))-1.))  
196  
197      WB=(1./PI)*ALOG((1.+R)/(1.-R))-SBI*ALOG((1.+(R/EK))/  
198      *(1.-(R/EK)))  
199  
200      ZOC=ZOC*SQRT((1.-CM)/(1.+CM))  
201  
202      ZOE=ZOC*SQRT((1.+CM)/(1.-CM))  
203  
204      W=WB*8  
205      CDB=-Z0*(ALOG10(CM))  
206      C4=300./(4.*F)  
207  
208 C*****  
209 C*  
210 C*      # SAIDA DOS RESULTADOS VIA TERMINAL #  
211  
212      WRITE(5,13)ER,S,B,SB,WB,CDB,F,C4,J  
213      13 FORMAT(1H1,25X,'# DADOS E RESULTADOS :',//,29X,'ER = ',F9.5,'/',30X  
214      *,S = ',F9.5,'1X,'MM',/,30X,'B = ',F9.5,'1X,'MM',/,29X,'S/B = ',F9.5,  
215      */,29X,'W/B = ',F9.5,'/',29X,'CDC = ',F9.5,'1X,'DB',/,30X,'F = ',F9.5  
216      *,1X,'GHZ',/,30X,'L = ',E15.8,'1X,'MM',/,29X,'COMBINACAO',I3,'//')
```

```
217
218 ***** ****
219
220      WRITE(5,14)
221      14 FORMAT(27X,"QUER A LISTAGEM ? - (S/N)*//")
222
223      READ(5,15) AG(1)
224      15 FORMAT(A1)
225
226      IF(AG(1).EQ.1HS)GO TO 16
227
228      GO TO 25
229
230 ***** ****
231 C*
232 C*          # SAIDA DOS RESULTADOS VIA IMPRESSORA #
233
234      16 WRITE(6,17)
235      17 FORMAT(1H1/////////36X,59***),/36X,**,57X,**,/36X,**, CALCULO
236      *DE ACOPLAGORES DIRECIONAIS EM LINHAS BROADSIDE **,/36X,**,57X,
237      ***),/36X,59***),//)
238
239      WRITE(6,18)ER,S
240      18 FORMAT(41X,"CARACTERISTICAS DO DIELETRICO USADO PARA S*//46X*
241      **ER = ",F9.5,6X,"H = ",F9.5,///)
242
243      WRITE(6,19)ZDC,F
244      19 FORMAT(42X,"IMPEDANCIA DE ENTRADA DESEJADA = ",F9.5,1X,"OHMS*",/
245      *42X,"FREQUENCIA DE OPERACAO = ",F15.8,1X,"GHZ*",//)
246
247
248      WRITE(6,20)ZOE,ZOD
249      20 FORMAT(53X,"RESULTADOS OBTIDOS : ",/50X,"ZOE = ",F15.8,1X,"OHMS*",/
250      */50X,"ZOD = ",F15.8,1X,"CHMS*",//)
251
252      WRITE(6,21)CM
253      21 FORMAT(41X,"COEFICIENTE DE ACOPLAGEMTO = ",F15.9,///)
254
255      WRITE(6,22)W,WB,S,SB,C4,J
256      22 FORMAT(52X,"CARACTERISTICAS DO ACOPPLADOR : ",/47X,"ESPESSURA TOTA
257      *L = ",F15.9,1X,"MM",/40X,"W = ",F15.9,1X,"MM",10X,"W/B = ",F15.9,
258      *40X,"S = ",F15.9,1X,"MM",10X,"S/B = ",F15.9,/,46X,"COMPRIMENTO
259      *(LAMBDA/4) = ",E15.8,1X,"MM",/50X,"COMBINACAO NUMERO",I3,///)
260
261      WRITE(6,23)CDB
262      23 FORMAT(56X,"ACOPLAGEMTO POSSIVEL",/54X,"CDB = ",F15.9,1X,"DB",/ /
263      *)
264
265      WRITE(6,24)
266      24 FORMAT(70X,"ACERROAD = HVST/1984/85",//)
267
268 ***** ****
269
270      25 J=J+1
271
272      CONTINUE
273
274      STOP
275
276      END
277
278 ***** ****
279 C*
280 C*          MARCUS VINICIUS SANTANA TORRES - ESTAGIARIO
281 C*
```

C.2 - COMO USAR O PROGRAMA

Este programa utiliza arquivos de dados onde devem estar os parâmetros S e B nesta ordem (ver arquivos de dados disponíveis).

Os demais dados de entrada são solicitados como se segue:

ZOC - Impedância de entrada e saída desejada para o acoplador (em Ω).

F - Freqüência de operação (em GHz).

ER - Constante dielétrica relativa do substrato.

NDADOS - Número de dados existentes no arquivo utilizado.

AG(1) - Permite que se tenha a listagem de uma execução (S) ou não (N).

O formato de entrada dos dados via terminal é livre.

- C.5 -

* CALENDARIO DE ACOPLADORES DIRECTORIALES EN LAS BROADSIDES *

ENTRE OS DÍAS SEGUINTES PARA RETRUSO:

$Z_{in} = \text{IMPEDÂNCIA DE ENTRADA DESJUDA}$

三

2 - FICHA DE INSCRIÇÃO DE PARTECIPACAO EM SITIZ

2 2 1

$k_b = \text{CONSTANTE DE LEYENDA DE SUBSTRATO}$

3

NDAP 33 - NDAP 34 BE 9000S

1

2.2 ADT55: RESULTS

CR = 2.20000
 S = 0.5037 ° MM
 J = 1.0159 ° MM
 S/Z = 0.3332 °
 W/R = 0.63644
 CDR = 1.35187 DH
 F = 2.2750 ° DHZ
 L = 0.32357 ° 33FT+12 MM
 COMBINACAO 1

QJW9 A LISTAGEM 2 - CS/N2

1

C.3 - ARQUIVOS DE DADOS DISPONÍVEIS

Têm-se três arquivos de dados que podem ser usados no cálculo de acopladores direcionais em linhas "BROADSIDE":

- 1) DABROAD3,
- 2) DABROAD4,
- 3) DABROAD5.

Estes arquivos de dados contêm as diversas combinações de dielétricos DI-CLAD de mesmo ϵ_r e espessuras diferentes fabricados pela Keene Corporation, sendo a ordem dos dados a seguinte:

S, B .

C.3.1 - DIELETÓRICOS DI-CLAD USADOS NOS ARQUIVOS DE DADOS DO PROGRAMA ACBROAD

- 1) Arquivo DABROAD3 $\epsilon_r = 2,20$

1.1 - 880 B 010 44 20

$$H = 0,010" = 0,254 \text{ mm.}$$

1.2 - 880 B 020 44 20

$$H = 0,020" = 0,508 \text{ mm.}$$

1.3 - 880 B 030 44 20

$$H = 0,030" = 0,762 \text{ mm.}$$

1.4 - 880 B 060 44 20

$$H = 0,060" = 1,520 \text{ mm.}$$

WORKFILE DABROAD3 (36/12/35)

100	1.658x1.316,
200	1.676x2x1.271,
300	1.658x2x1.233,
400	1.6254x1.271,
500	1.6762x1.273,
600	1.6528x2.530,
700	1.6254x1.273,
800	1.6518x2.132,
900	1.6528x3.744,
1000	1.6254x3.234,
1100	1.6518x3.621,
1200	1.6762x3.372,

2) Arquivo DABROAD4 $\epsilon_r = 2,33$

2.1 - 870 B 010 44 33

H = 0,010" = 0,254 mm.

2.2 - 870 B 020 44 33

H = 0,020" = 0,508 mm.

2.3 - 870 B 030 44 33

H = 0,030" = 0,762 mm.

2.4 - 870 B 060 44 33

H = 0,060" = 1,520 mm.

WORKFILE DABROAD4 (36/12/35)

100	1.658x1.316,
200	1.676x2x1.271,
300	1.658x2x1.233,
400	1.6254x1.271,
500	1.6762x1.273,
600	1.6528x2.530,
700	1.6254x1.273,
800	1.6508x2.132,
900	1.6528x3.744,
1000	1.6254x3.234,
1100	1.6508x3.621,
1200	1.6762x3.372,

3) Arquivo DABROAD5 $\epsilon_r = 2,55$

3.1 - 522 T 031 11 55

H = 0,031" = 0,787 mm.

3.2 - 522 T 062 11 55

H = 0,062" = 1,575 mm.

3.3 - 522 T 125 11 55

H = 0,125" = 3,175 mm.

3.4 - 527 B 030 11 55

H = 0,030" = 0,762 mm.

3.5 - 527 B 060 55 55

H = 0,060" = 1,520 mm.

WLPNFTLFB DABROADS (06/12/85)

101	1.575,3,149,
201	1.575,4,749,
301	1.742,2,336,
401	1.521,3,349,
501	1.787,3,137,
601	1.735,0,325,
701	1.742,3,912,
801	1.521,4,020,
901	1.787,1,137,
1000	1.575,7,925,
1101	1.762,7,112,
1201	1.521,7,371,
1301	1.747,2,311,
1401	1.575,3,149,
1501	1.175,0,634,
1601	1.521,3,048,
1701	1.727,3,027,
1801	1.575,4,015,
1901	1.175,6,315,
2000	1.521,3,032,
2101	1.707,2,361,
2201	1.521,4,725,
2301	1.175,9,525,
2401	1.742,2,236,
2501	1.521,4,361,

C.4 - EXEMPLOS DE UTILIZAÇÃO

*
* CALCULO DE ACOPLADORES DIRECIONAIS EM LINHAS BROADSIDE *
*

CARACTERISTICAS DO DIELETRICO USADO PARA S

ER = 2.20000 R = 0.25400

INPEDANCIA DE ENTRADA DESEJADA = 50.00000 OHMS
FREQUENCIA DE OPERACAO = 2.27500000 GHZ

RESULTADOS OBTIDOS :

ZOE = 133.02418471 OHMS
ZOB = 18.79357506 OHMS

COEFICIENTE DE ACOPLAMENTO = 0.752419281

CARACTERISTICAS DO ACOPLADOR :

ESPESSURA TOTAL = 3.294000000 MM

W = 1.291426463 MM W/B = 0.392054170

S = 0.254000000 MM S/B = 0.077000000

COMPRIMENTO (LAMBDA/4) = .32967033E+02 MM

COMBINACAO NUMERO 10

ACOPLAMENTO POSSIVEL

CDB = 2.470801680 DB

- C.10 -

*
* CALCULO DE ACOPLADORES DIRECIONAIS EM LINHAS BROADSIDE
*

CARACTERISTICAS DO DIELETRICO USADO PARA S

ER = 2.33000 H = 0.25400

IMPEDANCIA DE ENTRADA DESEJADA = 50.00000 OHMS
FREQUENCIA DE OPERACAO = 2.27500000 GHZ

RESULTADOS OBTIDOS :

ZOE = 131.91378573 OHMS
ZOO = 18.95177207 OHMS

COEFICIENTE DE ACOPLAMENTO = 0.748759460

CARACTERISTICAS DO ACOPLADOR :

ESPESSURA TOTAL = 3.294000000 MM
W = 1.234648131 MM W/B = 0.374817263
S = 0.254000000 MM S/B = 0.077000000
COMPRIMENTO (LAMBDA/4) = .32967033E+02 MM

COMBINACAO NUMERO 10

ACOPLAMENTO POSSIVEL

CDB = 2.513153547 DB

ACBROAD - MVST/1984/85

*
* CALCULO DE ACOPLADORES DIRECIONAIS EM LINHAS BROADSIDE
*

CARACTERISTICAS DO DIELETRICO USADO PARA S

ER = 2.20000 H = 0.50800

IMPEDANCIA DE ENTRADA DESEJADA = 50.00000 OHMS
FREQUENCIA DE OPERACAO = 2.27500000 GHZ

RESULTADOS OBTIDOS :

ZOE = 106.49060417 OHMS
ZOO = 23.47624957 OHMS

COEFICIENTE DE ACOPLAGEMTO = 0.638734818

CARACTERISTICAS DO ACOPLADOR :

ESPESSURA TOTAL = 3.620000000 MM

W = 1.878692377 MM H/B = 0.518975795

S = 0.508000000 MM S/B = 0.140000000

COMPRIMENTO (LAMBDA/4) = .32967033E+02 MM

COMBINACAO NUMERO 11

ACOPLAMENTO POSSIVEL

CDB = 3.893588195 DB

ACBROAD - MVST/1984/85

* CALCULO DE ACOPLADORES DIRECIONAIS EM LINHAS BROADSIDE *
*

CARACTERISTICAS DO DIELETRICO USADO PARA S

ER = 2.20000 H = 0.25400

IMPEDANCIA DE ENTRADA DESEJADA = 50.00000 OHMS
FREQUENCIA DE OPERACAO = 2.27500000 GHZ

RESULTADOS OBTIDOS :

ZOE = 105.61695240 OHMS
ZOO = 23.67044251 OHMS

COEFICIENTE DE ACOPLAMENTO = 0.633832169

CARACTERISTICAS DO ACOPLADOR :

ESPESSURA TOTAL = 1.77800000 MM
W = 0.930606972 MM W/B = 0.523400997
S = 0.254000000 MM S/B = 0.143000000
COMPRIMENTO (LAMBDA/4) = .32967033E+02 MM
COMBINACAO NUMERO 7

ACOPLAMENTO POSSIVEL

CDB = 3.960514461 DB

ACBROAD = MVST/1984/85

*
* CALCULO DE ACOPLOADORES DIRECIONAIS EM LINHAS BROADSIDE
*

CARACTERISTICAS DO DIELETRICO USADO PARA S

ER = 2.33000 H = 0.50800

IMPEDANCIA DE ENTRADA DESEJADA = 50.00000 OHMS
FREQUENCIA DE OPERACAO = 2.27500000 GHZ

RESULTADOS OBTIDOS :

ZOE = 104.93704460 OHMS
ZOO = 23.82380798 OHMS

COEFICIENTE DE ACOPLAMENTO = 0.629952621

CARACTERISTICAS DO ACOPLADOR :

ESPESSURA TOTAL = 3.548000000 MM
W = 1.777181718 MM N/B = 0.500896764
S = 0.508000000 MM S/B = 0.143000000
COMPRIMENTO (LAMBDA/4) = .32967033E+02 MM

COMBINACAO NUMERO 11

ACOPLAMENTO POSSIVEL

CDB = 4.013842249 DB

ACBROAD - MVST/1984/85